Наблюдательные основы космологии

ЛЕКЦИЯ 8

Распространенность легких химических элементов. За пределами Стандартной модели физики частиц

д.ф.-м.н. Сажина Ольга Сергеевна

cosmologia@yandex.ru



Государственный астрономический институт им. П.К. Штернберга Московского государственного университета им. М.В. Ломоносова МФК-2020/2021

Программа курса

ЛЕКЦИЯ 1. Предмет науки космологии. Расширение Вселенной

ЛЕКЦИЯ 2. Поиск темной материи методами наблюдательной космологии.

Гравитационное линзирование (ЧАСТЬ I)

ЛЕКЦИЯ 3. Поиск темной материи методами наблюдательной космологии.

Гравитационное линзирование (ЧАСТЬ II)

ЛЕКЦИЯ 4. Темная энергия в ранней Вселенной и в современной Вселенной: теория инфляции и ускоренное расширение современной Вселенной

ЛЕКЦИЯ 5. Микроволновое фоновое реликтовое излучение и его анизотропия (ЧАСТЬ I)

ЛЕКЦИЯ 6. Микроволновое фоновое реликтовое излучение и его анизотропия

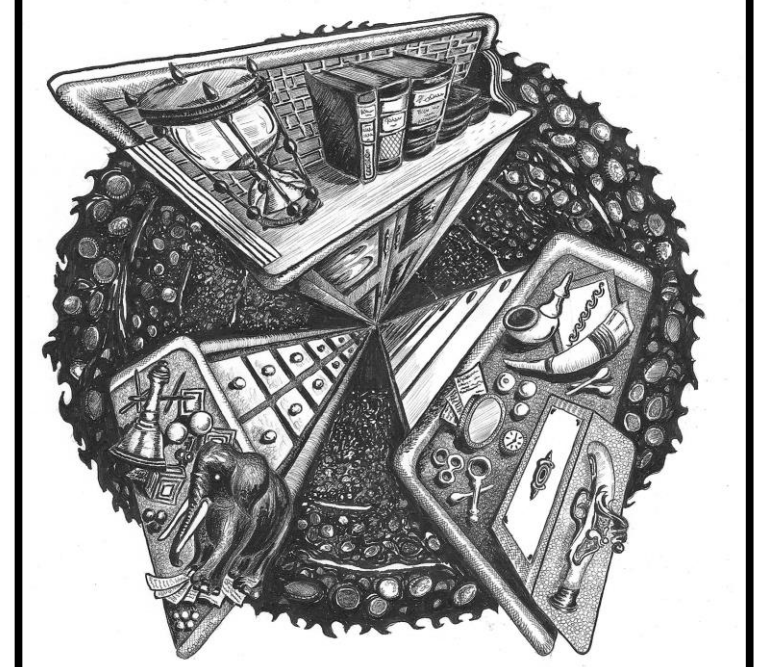
(ЧАСТЬ II)

ЛЕКЦИЯ 7. Иерархия объектов во Вселенной.

Крупномасштабная структура Вселенной

ЛЕКЦИЯ 8. Распространенность легких химических элементов. За пределами Стандартной модели физики частиц

ЛЕКЦИЯ 9. Гравитационные волны. Открытие гравитационных волн в двойных системах черных дыр и нейтронных звезд. Поиск космологических гравитационных волн ЛЕКЦИЯ 10. Космические струны



Пять ключевых наблюдательных тестов Стандартной космологической модели

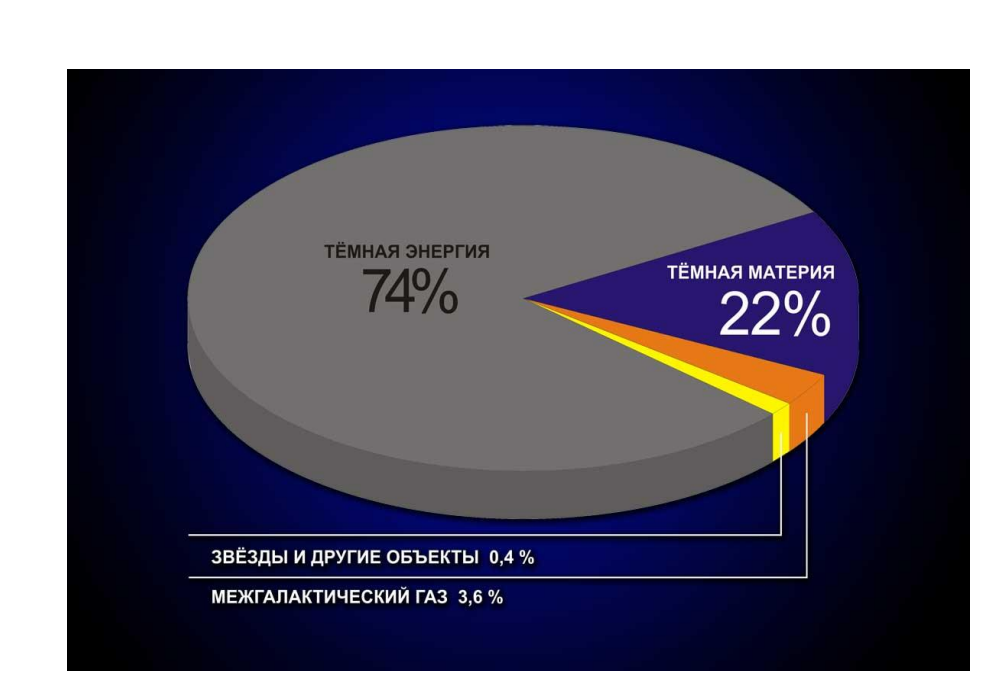
- 1. Расширение Вселенной
- 2. Реликтовое излучение

ACDM

- 3. Крупномасштабная структура Вселенной
- 4. Распространенность легких химических элементов
- 5. Анизотропия реликтового излучения

- 6*. Темная материя
- 7*. Темная энергия
- 8*. Космологические

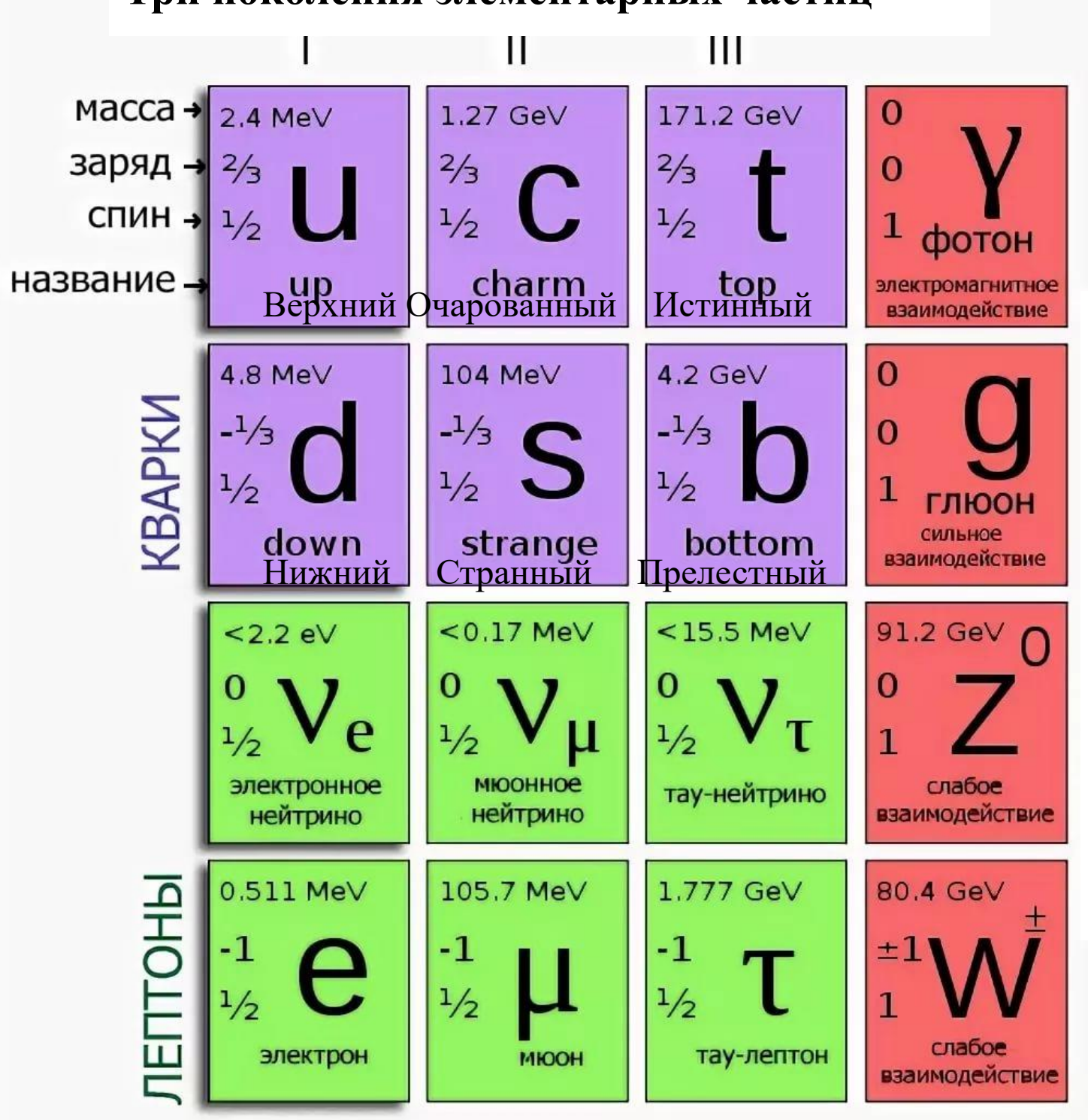
гравитационные волны?



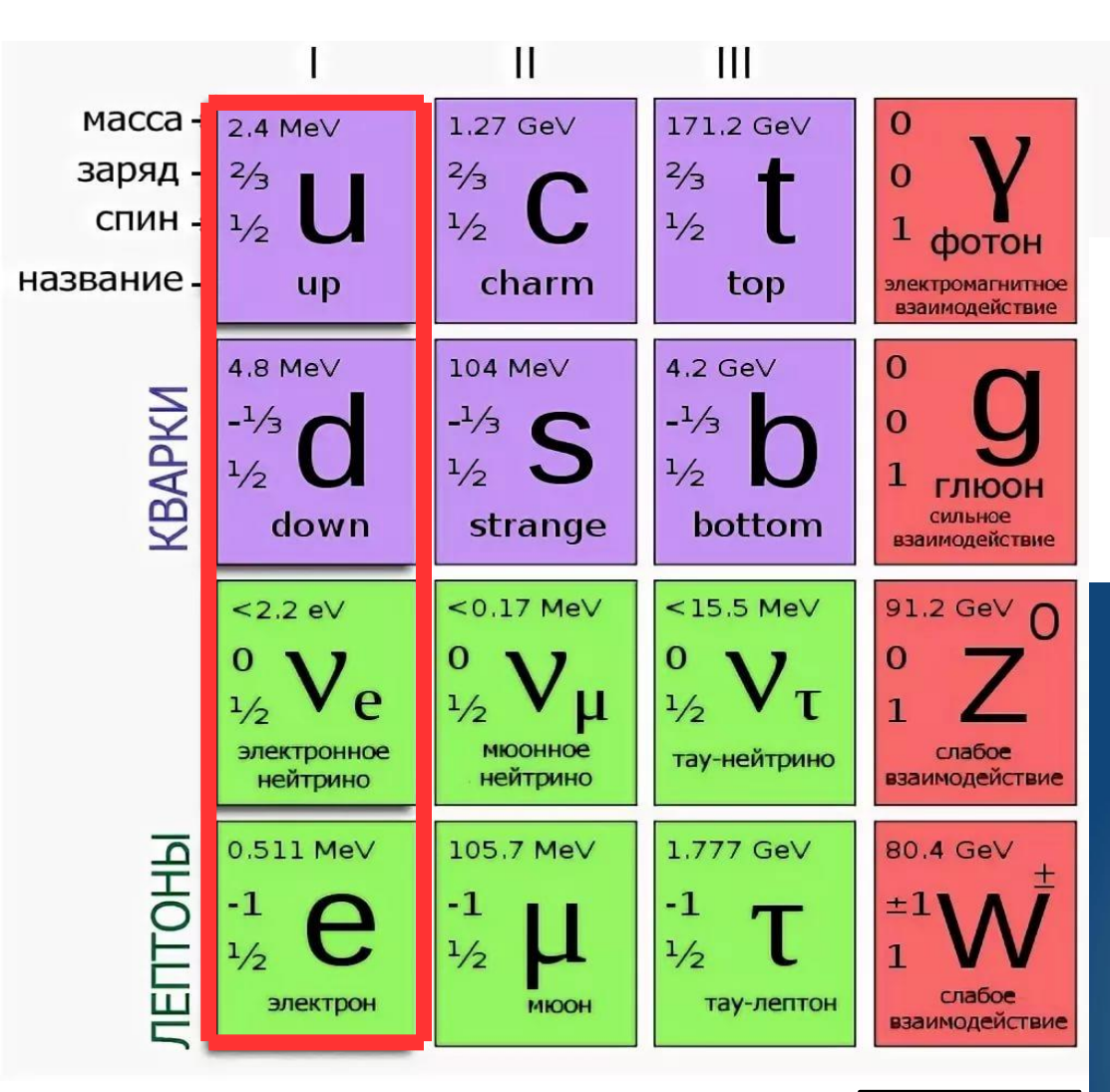
Стандартная модель физики частиц состоит из трех основных частей:

- 1. Описание трех типов взаимодействий частиц.
- 2. Перечисление частиц с указанием. взаимодействий, которым они подвержены
- 3. Свободные параметры (19 чисел), которые не предсказываются моделью и определяются экспериментально.

Три поколения элементарных частиц



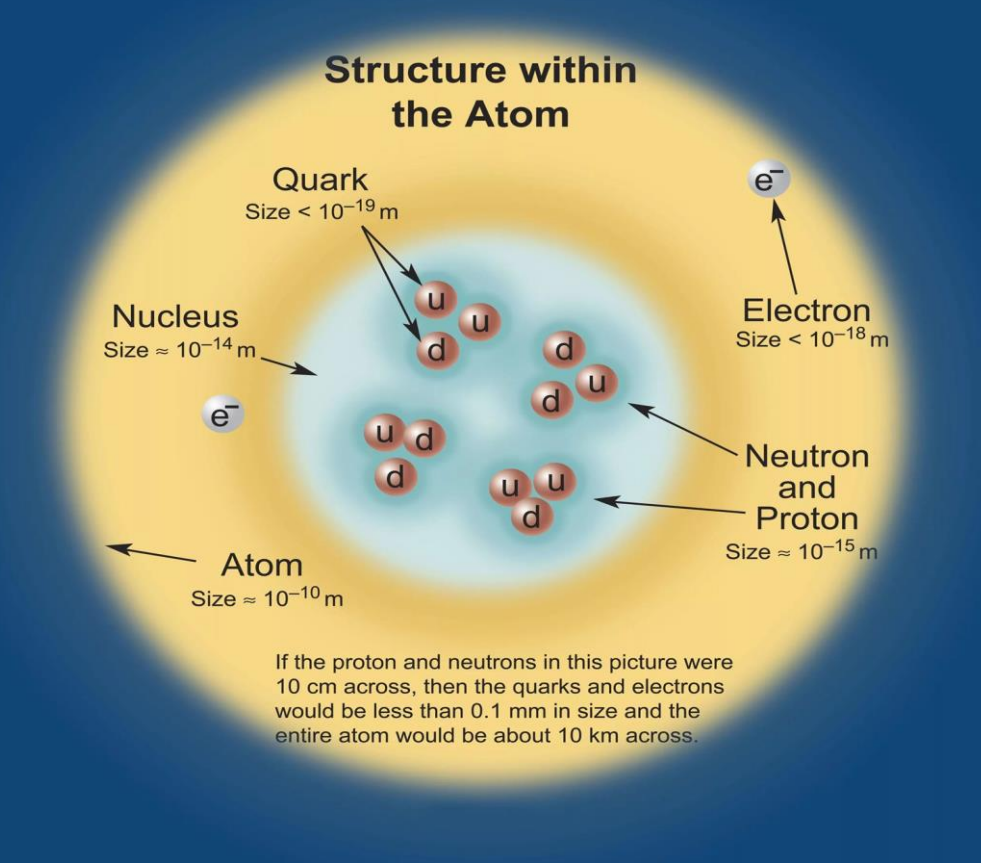
Переносчики взаимодействий



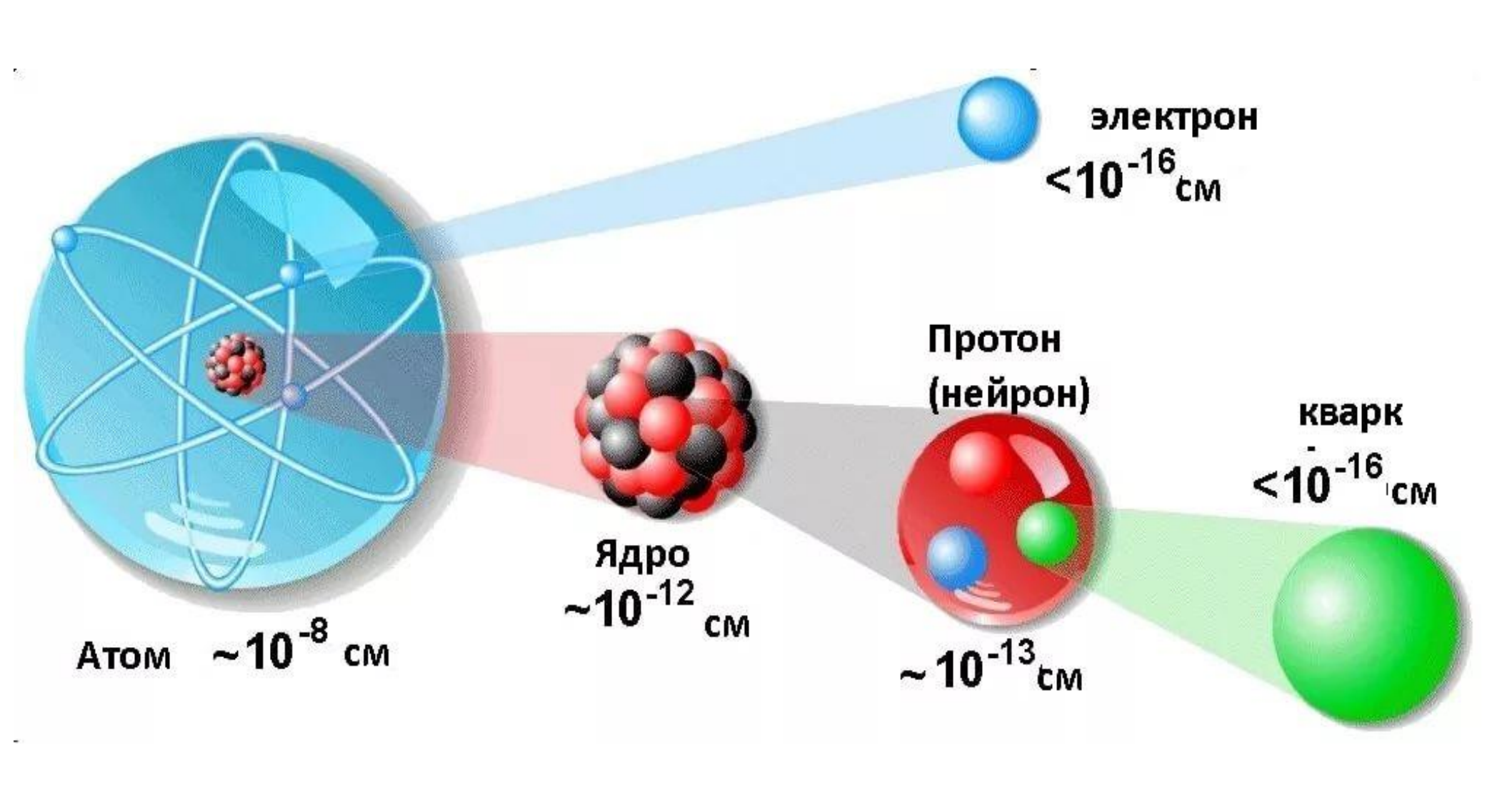
Предполагаемый переносчик гравитационных взаимодействий, в Стандартную модель физики частиц не входит

гравитон

Все атомы вещества состоят из электронов (е), образующих оболочки, и ядер (n=ddu, p=uud).



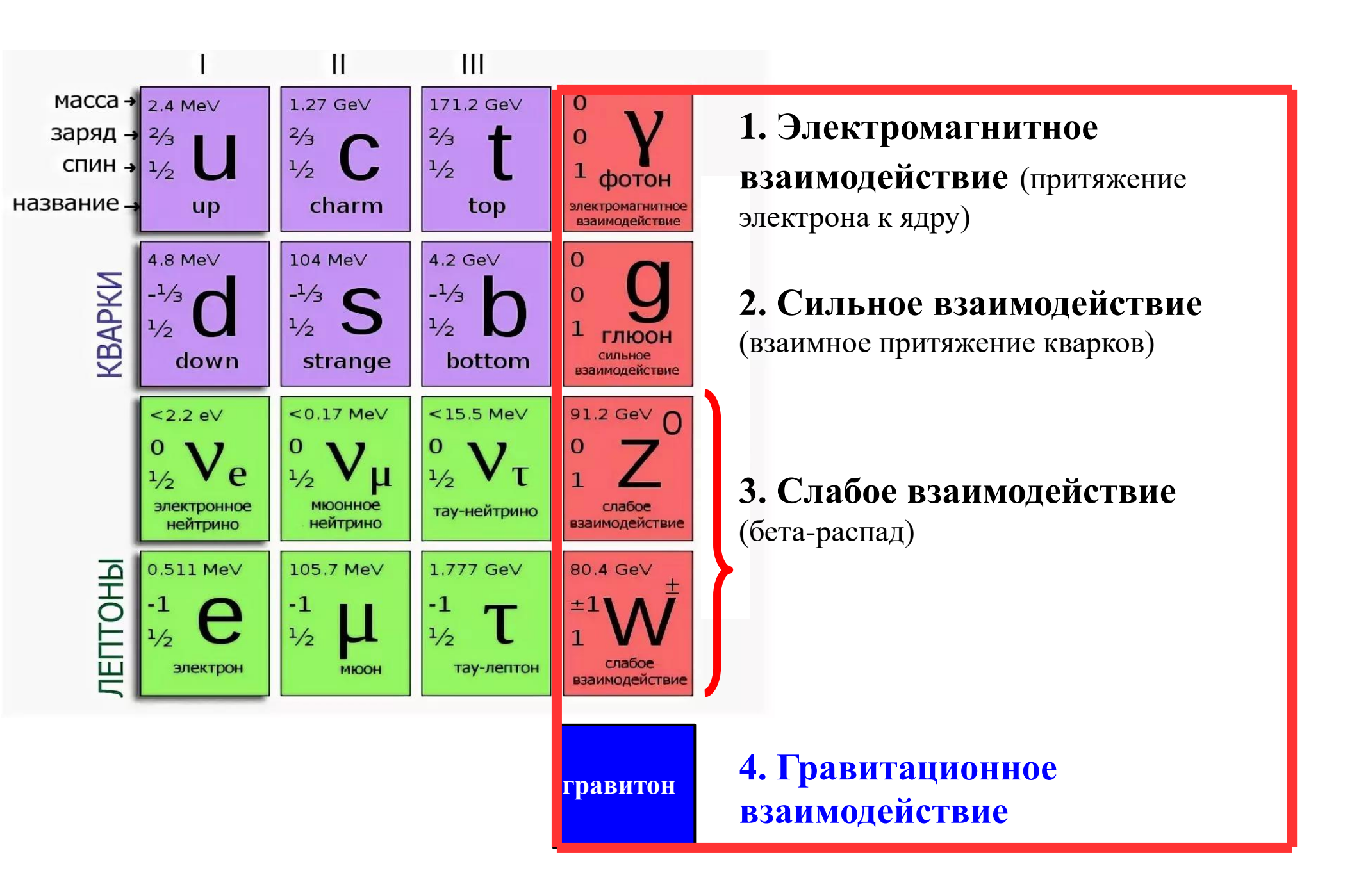
1/100 000 000

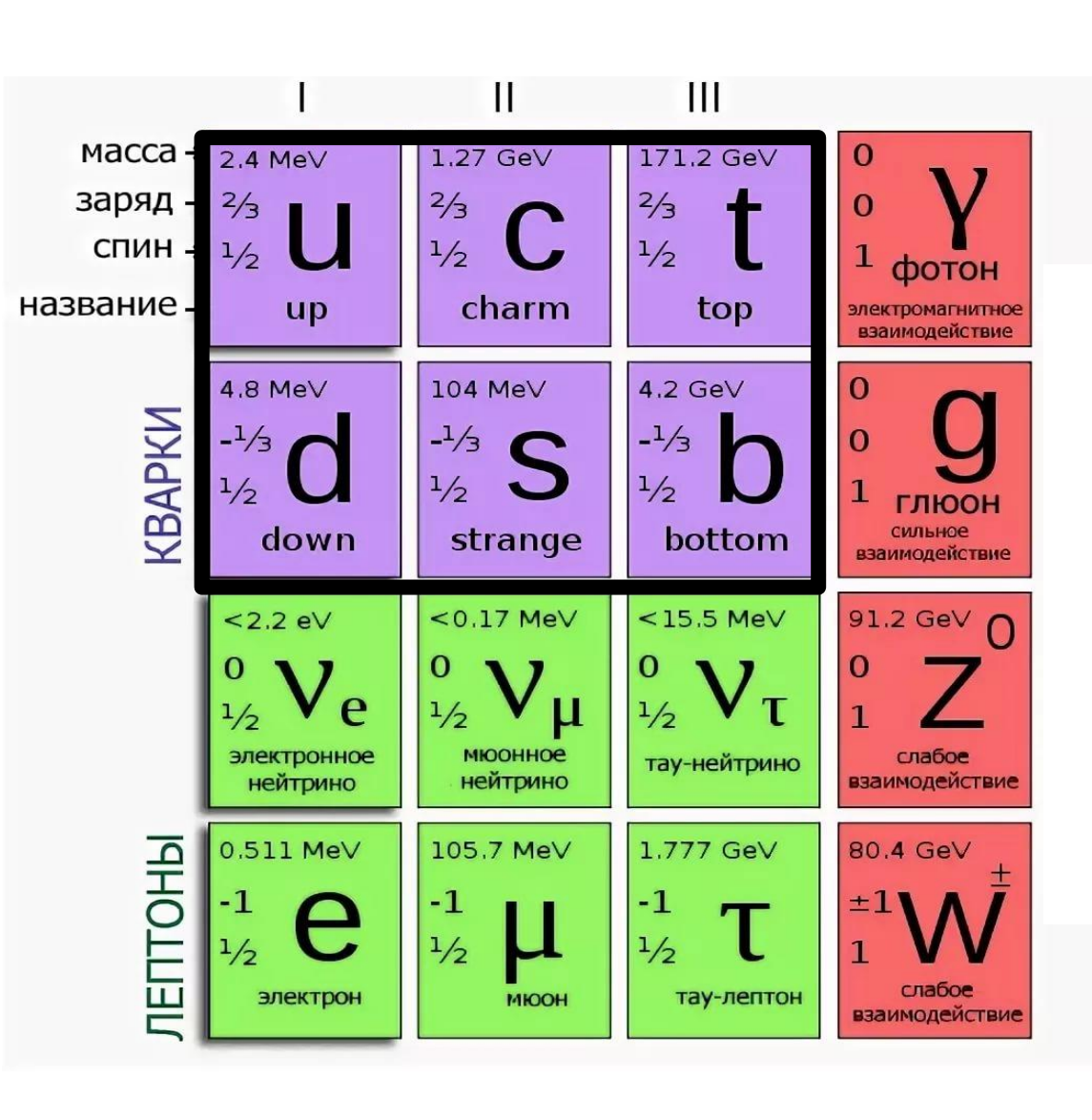


1/10 000

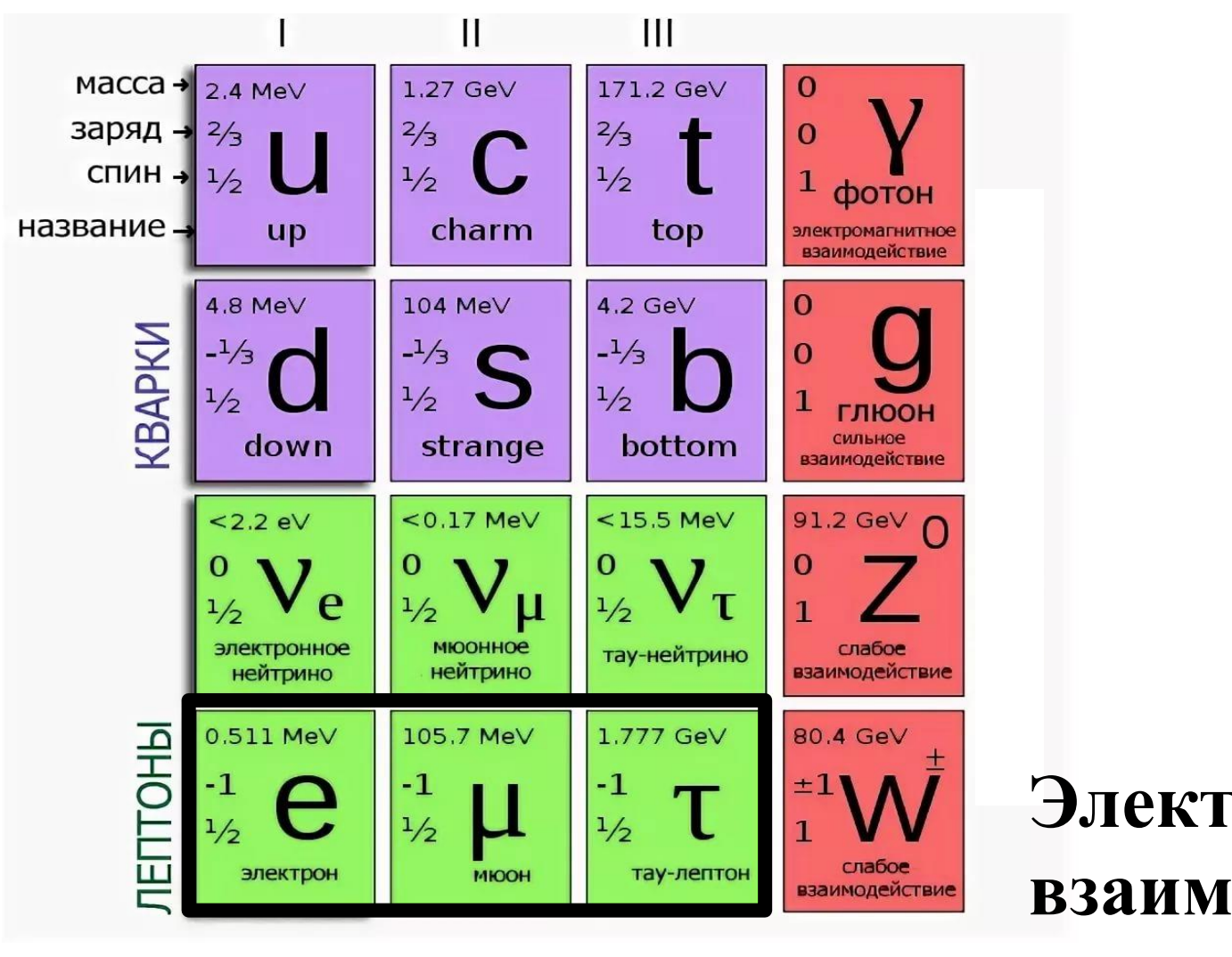
1/100 000

1/100 000 000

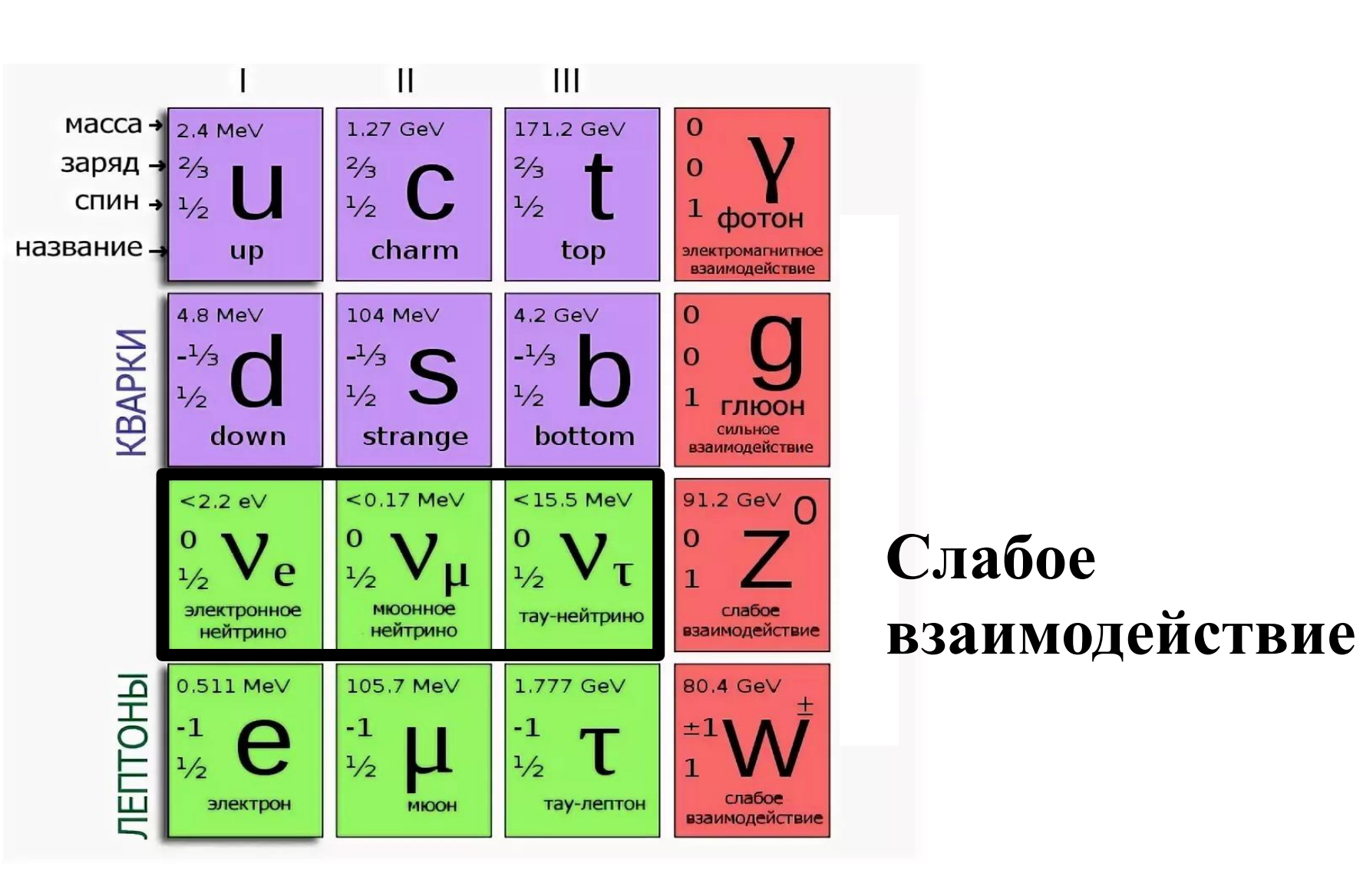


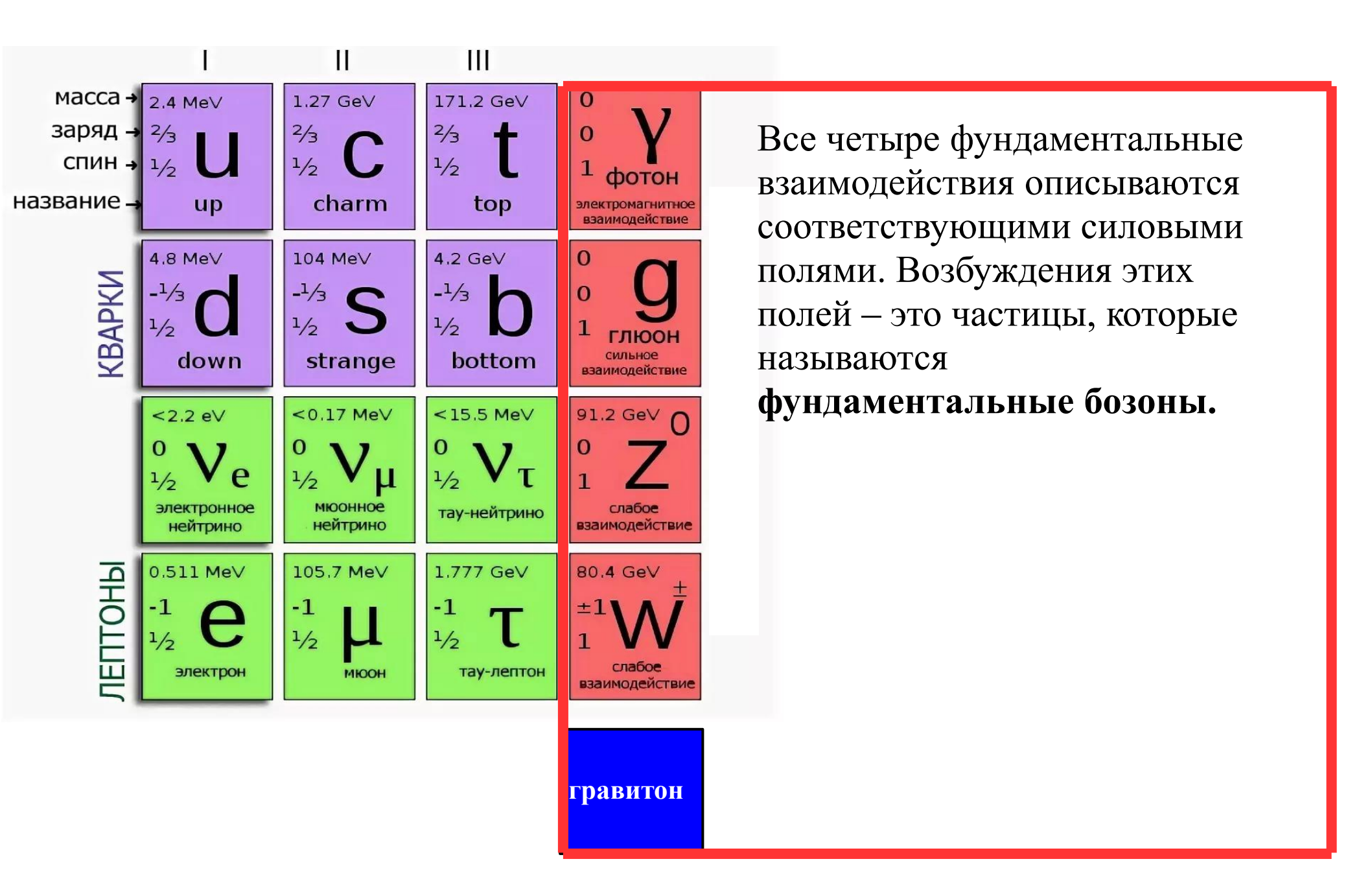


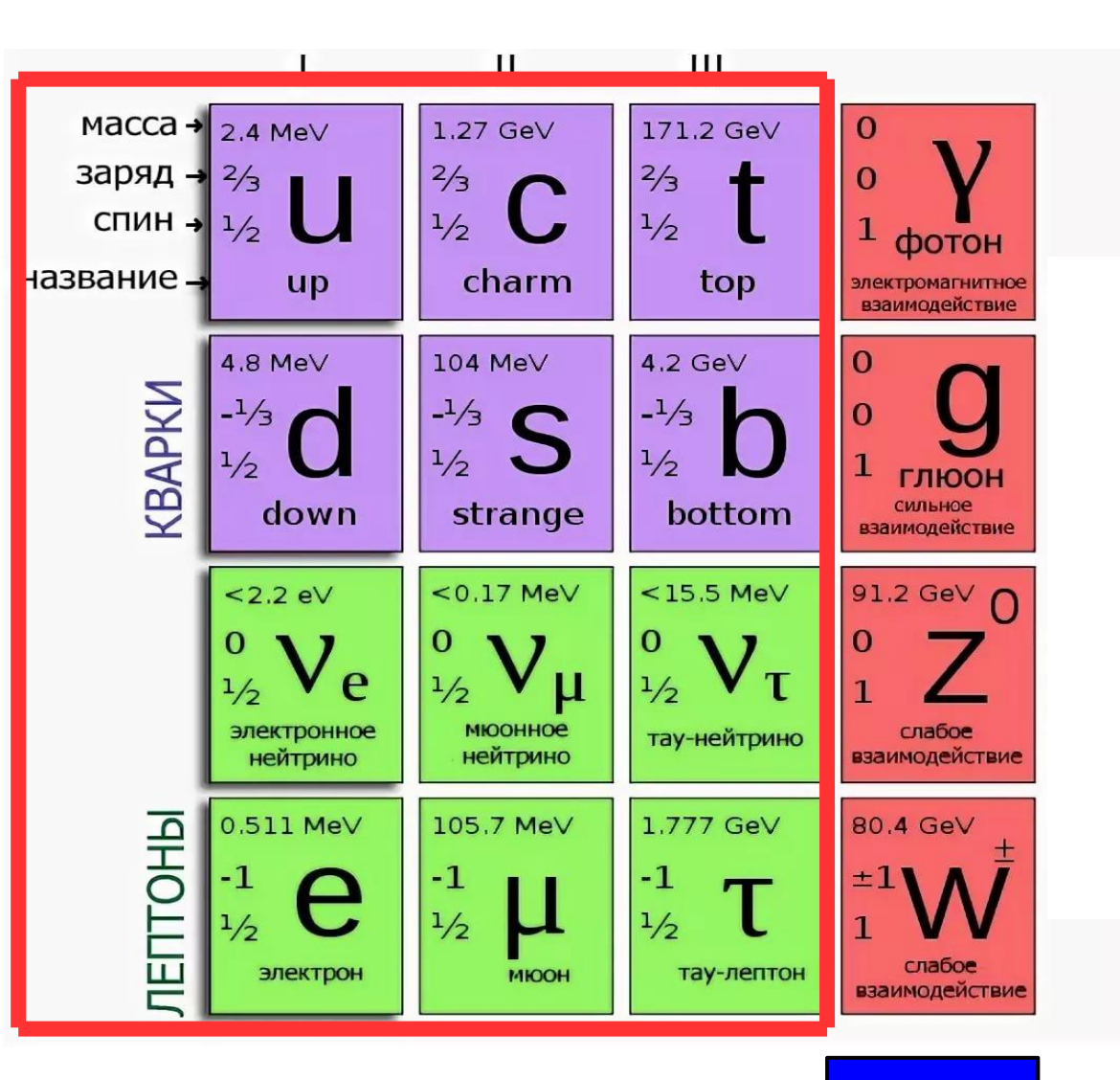
Сильное взаимодействие



Электромагнитное взаимодействие

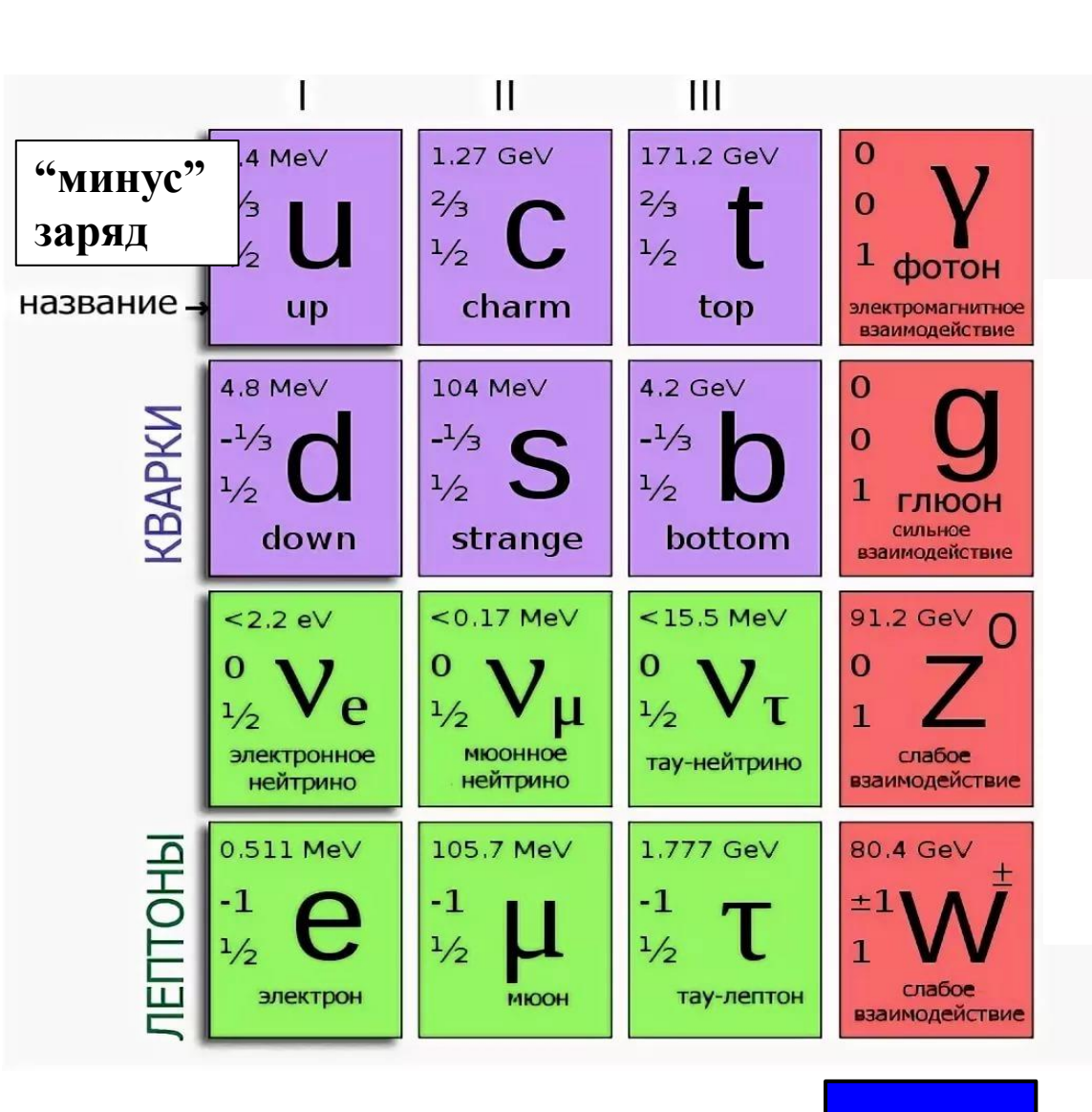






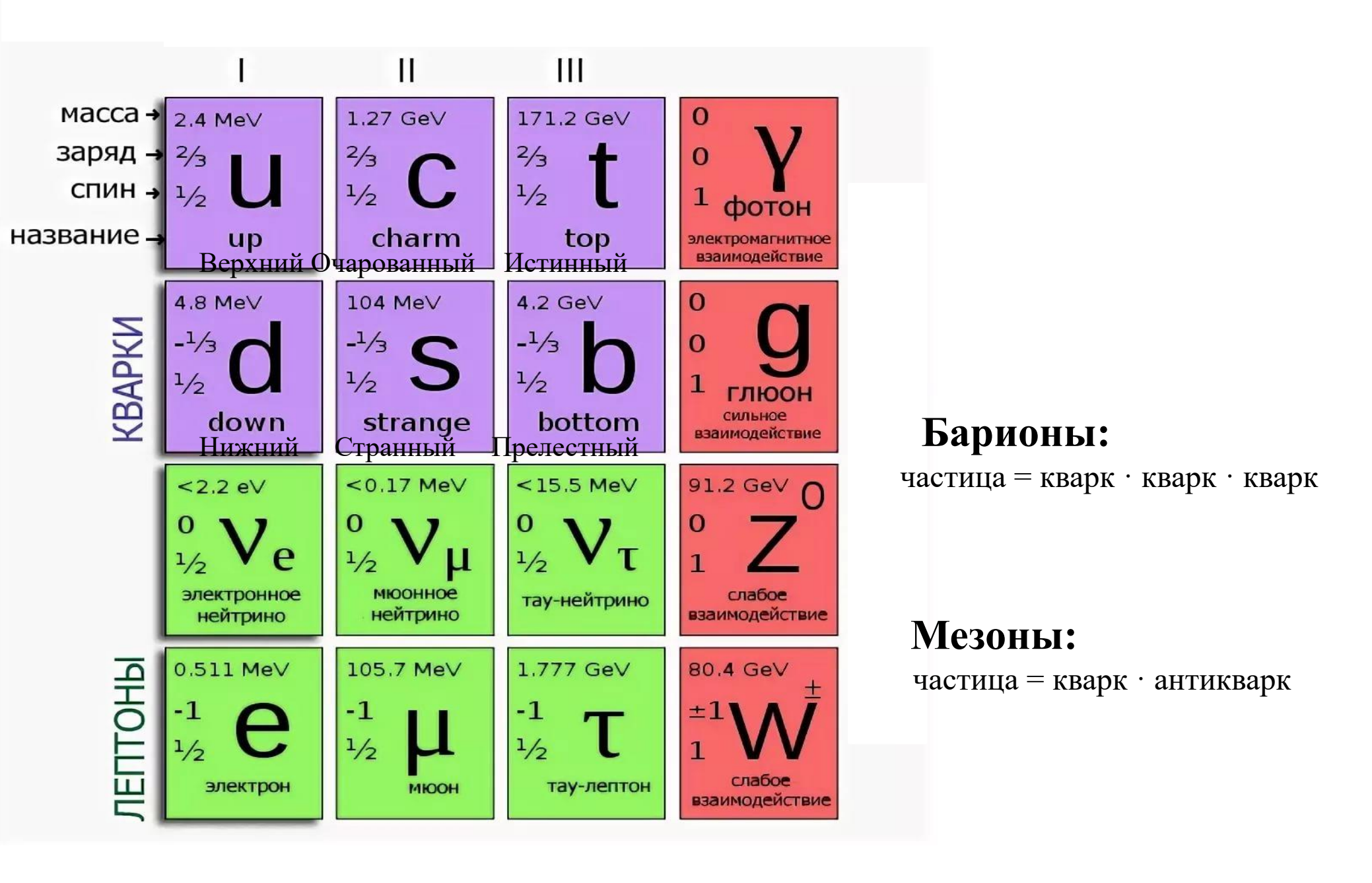
Фундаментальные фермионы





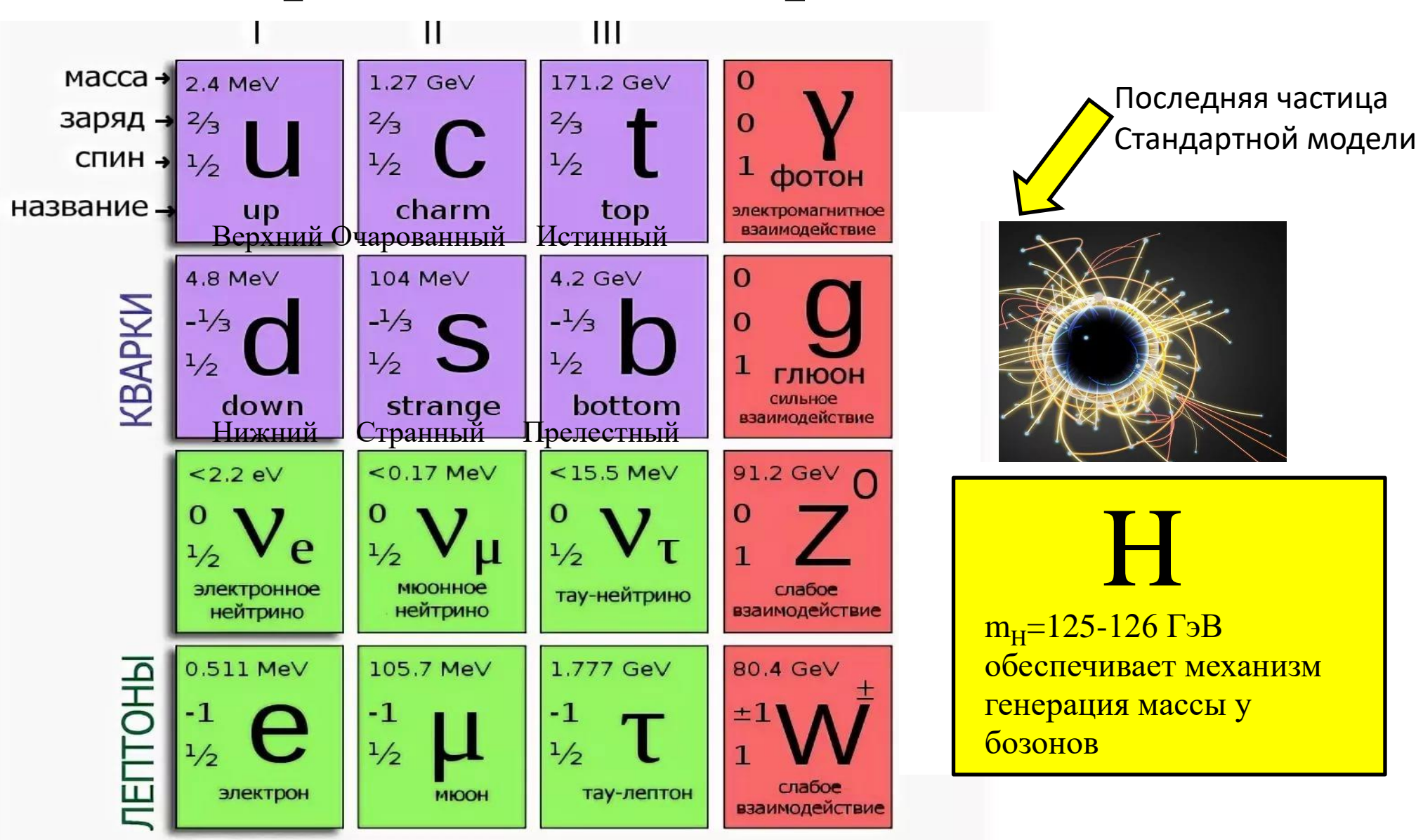
Античастицы — частицыдвойники, имеющие те же массы, но противоположные заряды.

гравитон



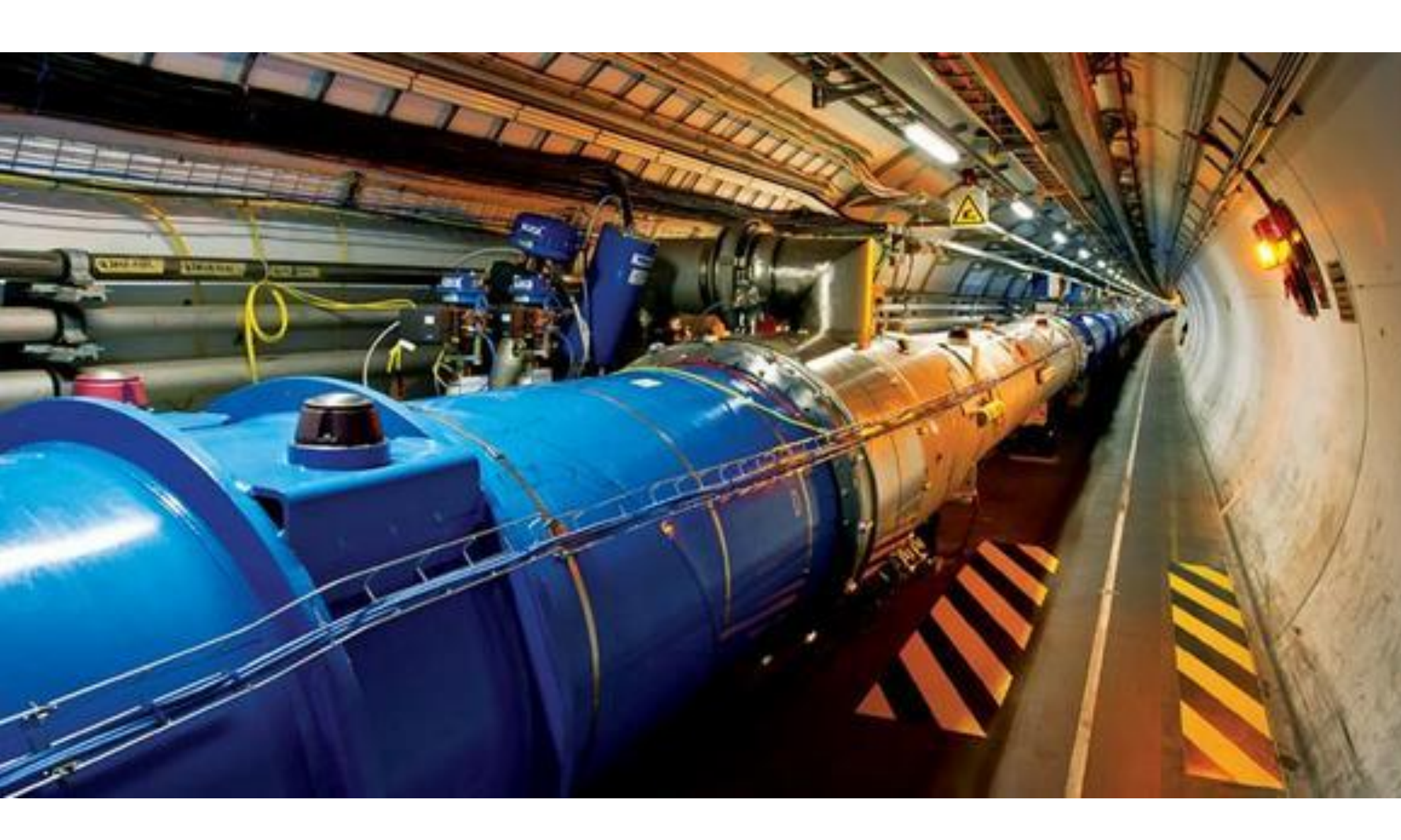
Барионы и мезоны называются **адроны**

Стандартная модель физики частиц

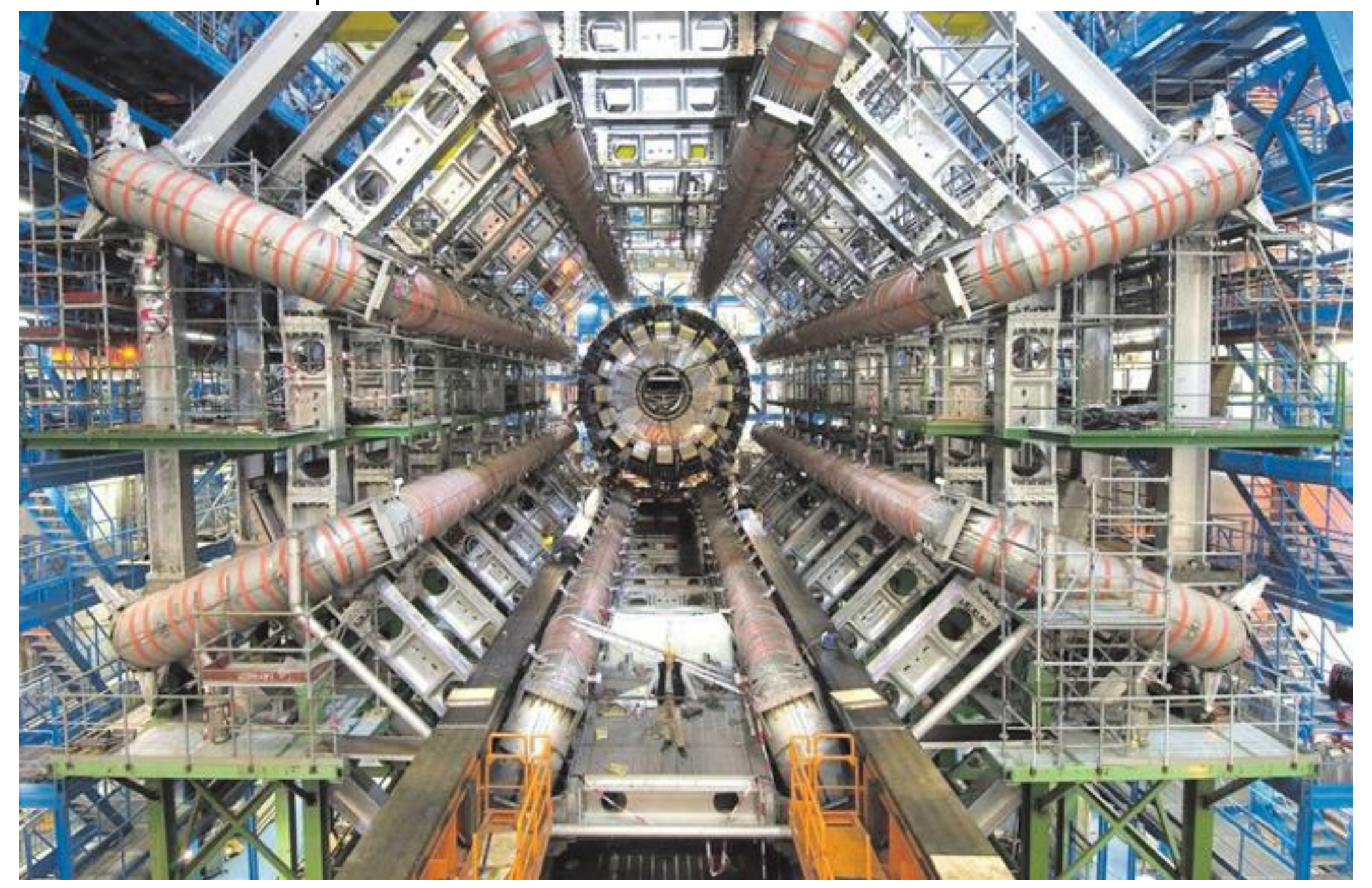


Разделение частиц на поколения говорит о некой системе – или о едином объекте, который может порождать все эти частицы

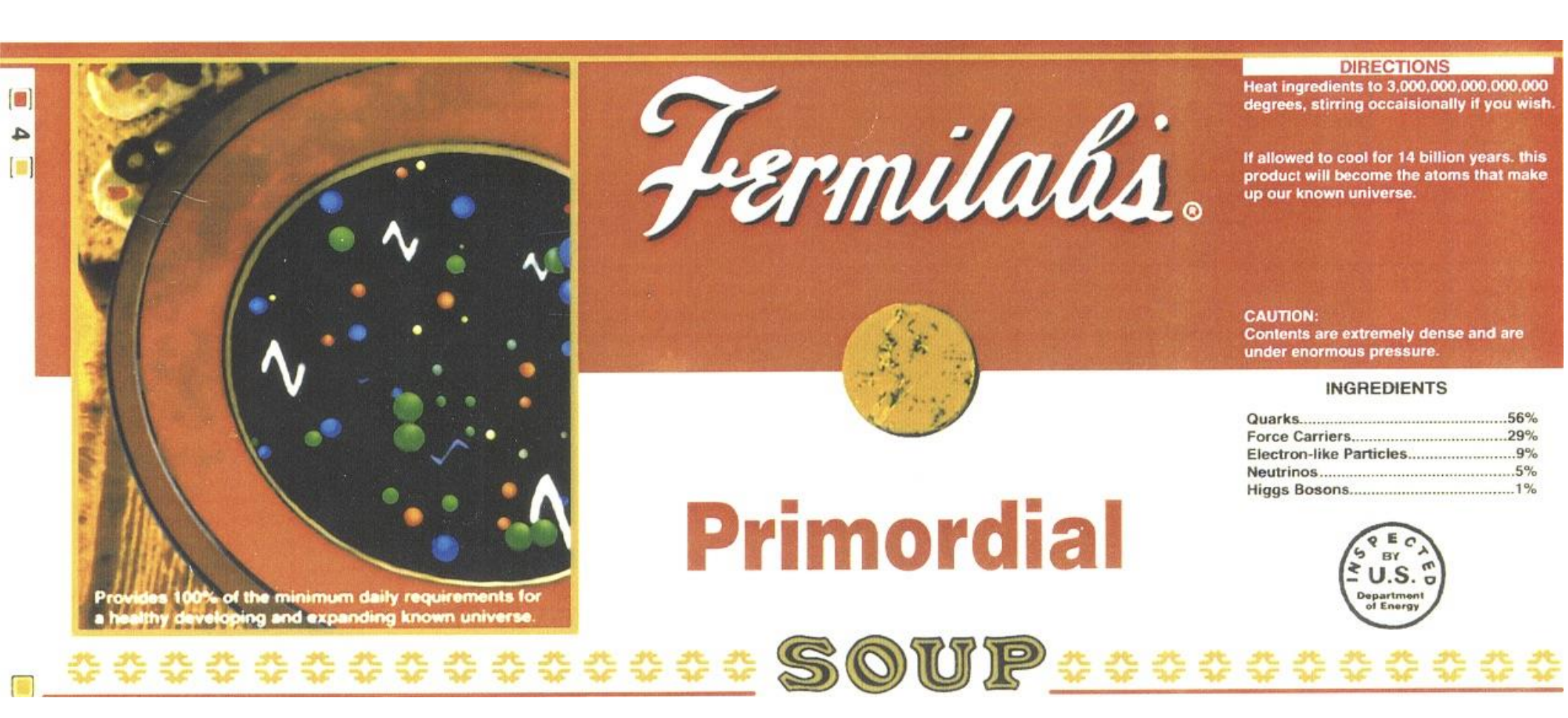




ATLAS – часть Большого Адронного Коллайдера (БАК, LHC), детектор частиц, которые образуются в результате столкновения протонов, разогнанных в магнитном кольце



Химический состав ранней Вселенной



Тепловая история ранней Вселенной. Образование химических элементов

- 1. Первичный нуклеосинтез
- 2. Закалка элементарных частиц
- 3. Барионная асимметрия Вселенной
- 4. Звездный нуклеосинтез

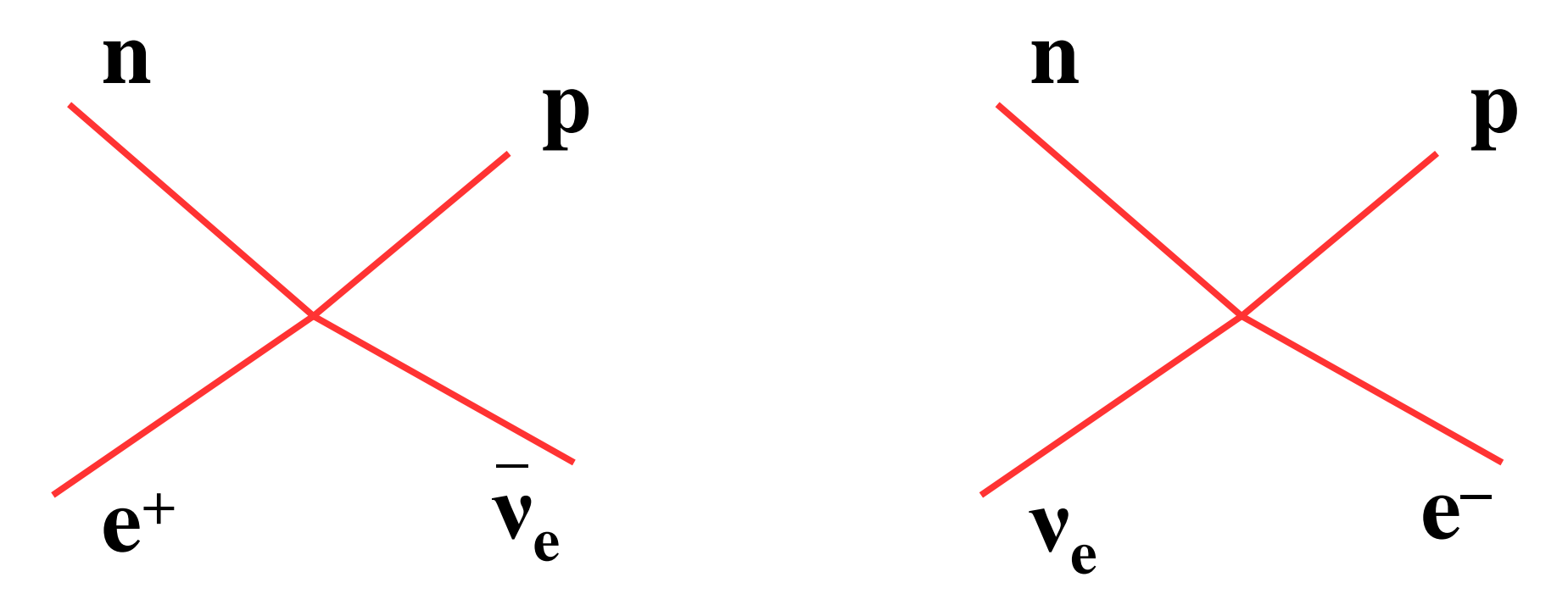
Этапы первичного нуклеосинтеза

1. «Закалка» нейтронов

2. Образование первичного дейтерия

3. Образование более тяжелых элементов: тритий (T), 3 He, 4 He, ..., 6 Li, 7 Li.

Рождение и уничтожение нейтронов



(время жизни нейтрона) $^{-1}$ ~ постоянная Ферми 2 × сечение × концентрация позитронов (или нейтрино)

$$\tau_{\rm n}^{-1} \sim G_{\rm F}^2 \, {\rm T}^5$$

«Закалка» нейтронов

 $T_{q} \sim 1 \text{ МэВ} (10^{10} \text{K})$, 1 с спустя после Большого взрыва наступает химическое равновесие нейтронов.

При $T_q < 1$ МэВ нейтроны рождаются и уничтожаются.

Откуда известна эта величина?

Известно, что $\mathbf{m_n}$ – $\mathbf{m_p}$ =1.3 МэВ. Если $T < T_q$, то почти все нейтроны успели бы превратиться в протоны.

Уничтожение и рождение нейтронов происходит в слабых процессах.

«Закалка» нейтронов

Когда время жизни нейтрона становится сравнимым с параметром Хаббла, то происходит закалка нейтронов:

$$\tau_n^{-1} \sim T^2/m_{Pl}$$

$$T_{q} = 0.75 \text{ M} \cdot 3B \sim (m_{n} - m_{p})$$

Образование первичного дейтерия

$$n+p \rightarrow D (=^2H+\gamma)$$

Начало нуклеосинтеза затягивается, потому что образование дейтерия "не выгодная" реакция. Кроме того, образовавшийся высокоэнергичный фотон может тут же разрушить дейтерий.

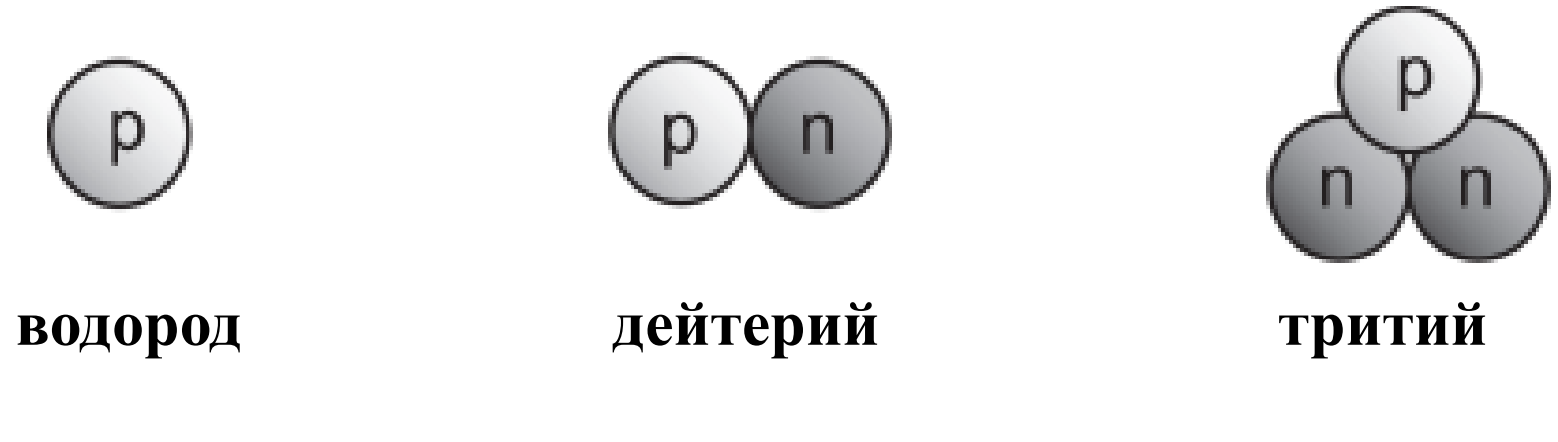
Дейтерий начинает образовываться, когда его концентрация становится сравнимой с концентрацией нейтронов.

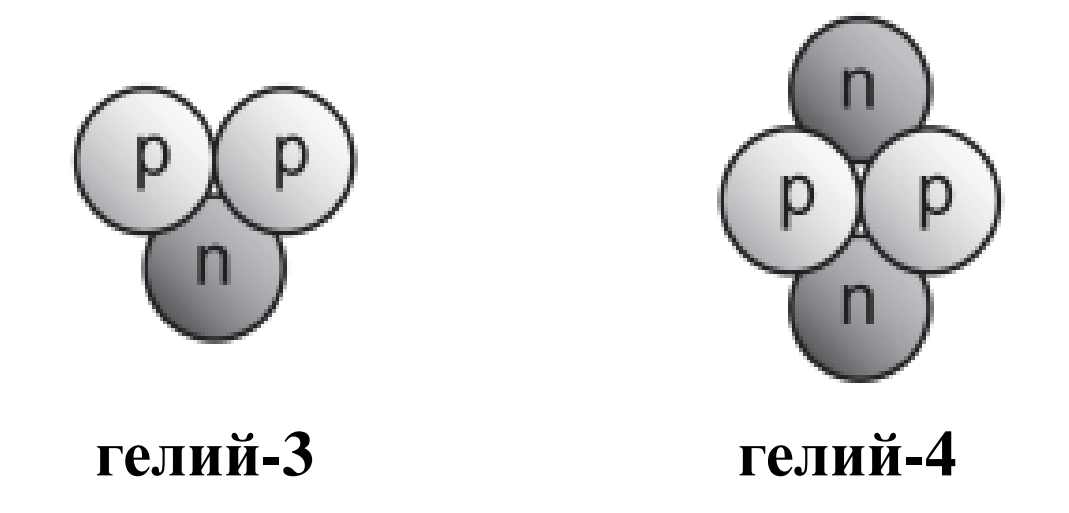
75 K₂B
$$\rightarrow$$
 H = 2 · 10⁻³ c⁻¹

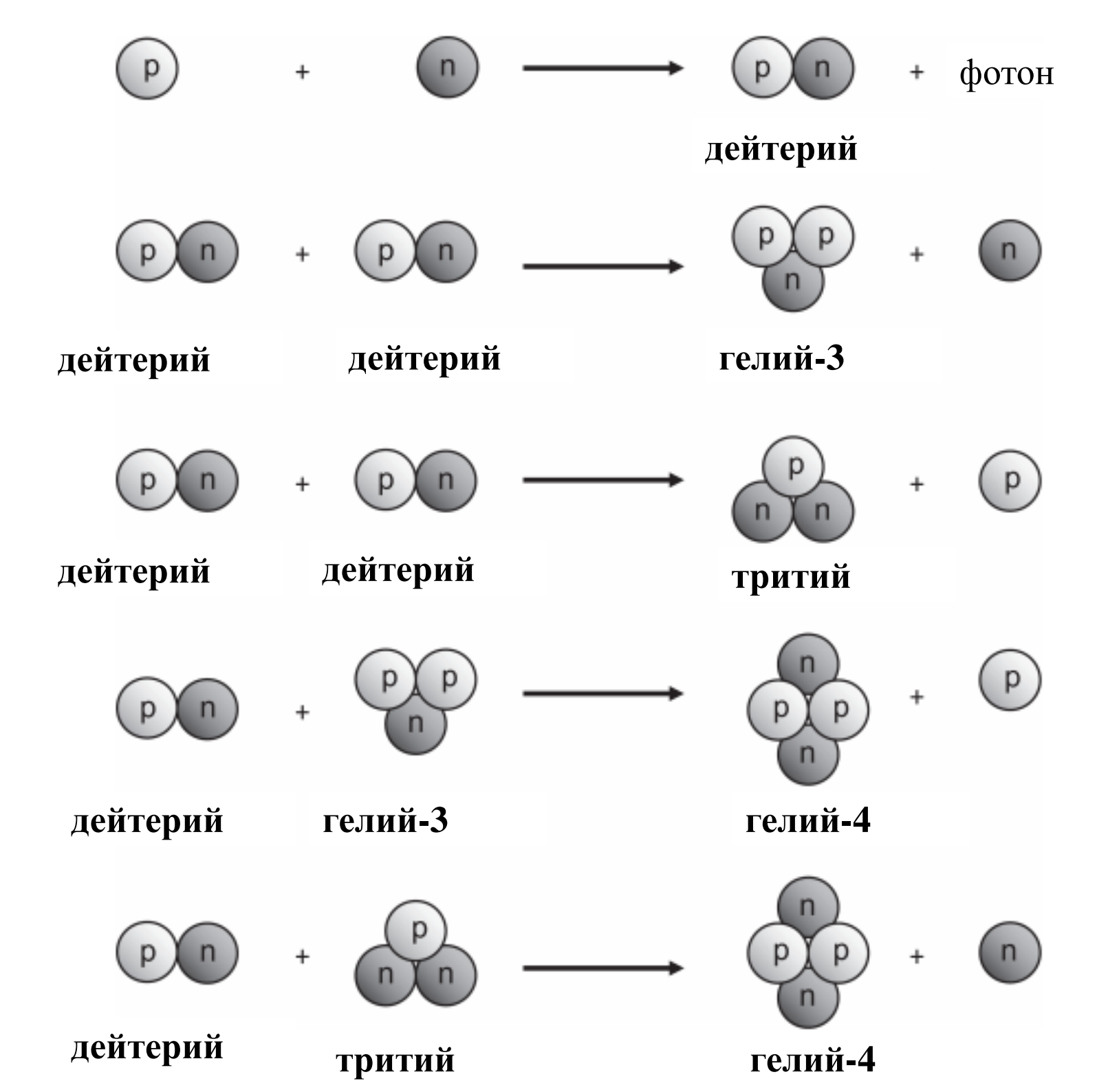
t = 1/2H = 230 c — возраст Вселенной, когда происходит нуклеосинтез.

Теория горячего Большого взрыва (Стандартная космологическая модель) дает правильное предсказание наблюдаемой распространенности (или изобилия) химических элементов во Вселенной.

В ранней Вселенной в результате первичного нуклеосинтеза образовались следующие элементы: водород **H**, дейтерий **D**, тритий **T**, ³**He**, ⁴**He**, ... ⁶**Li**, ⁷**Li**. Более тяжелые элементы образовались позднее в звездах в результате ядерных реакций.







Распространенность легких элементов была теоретически предсказана Г.А. Гамовым в 1948 г.

Распространенность ⁴**He** посчитана с точностью **0.4%**. Основной вклад в эту ошибку дает существующая экспериментальная точность определения времени жизни нейтрона $(\mathbf{t_n} = 885.3 \pm 2 \ \mathbf{c})$.

Предсказание количества водорода **H** (75%) и гелия ⁴**He** (25%), а также остальных легких элементов хорошо согласуется с наблюдениями, что является основным результатом теории нуклеосинтеза.

Из теории нуклеосинтеза, в частности, следует ограничение на общее число типов нейтрино (В. Шварцман). В настоящее время известны три типа нейтрино: электронное $\mathbf{v}_{\mathbf{e}}$, мюонное $\mathbf{v}_{\mathbf{\mu}}$ и таунейтрино $\mathbf{v}_{\mathbf{\tau}}$. Поскольку распространенность легких элементов зависит от числа нейтрино, то на основании наблюдений можно получить количество типов нейтрино: $\mathbf{3.13} \pm \mathbf{0.32}$.

Современные измерения дейтерия D и ⁴He

Распространенность **D** (дейтерия, изотопа водорода) и ⁴He (изотопа гелия) совпадают с предсказаниями Стандартной модели физики частиц, примененной к ранней Вселенной.

Стандартная космологическая модель и Стандартная модель физики частиц не противоречивы.

Современные измерения дейтерия выполняются по линиям поглощения квазаров при высоком красном смещении. Максимальное значение распространенности дейтерия в разных квазарах считается его значением в результате первичного нуклеосинтеза, поскольку астрофизических источников дейтерия нет.

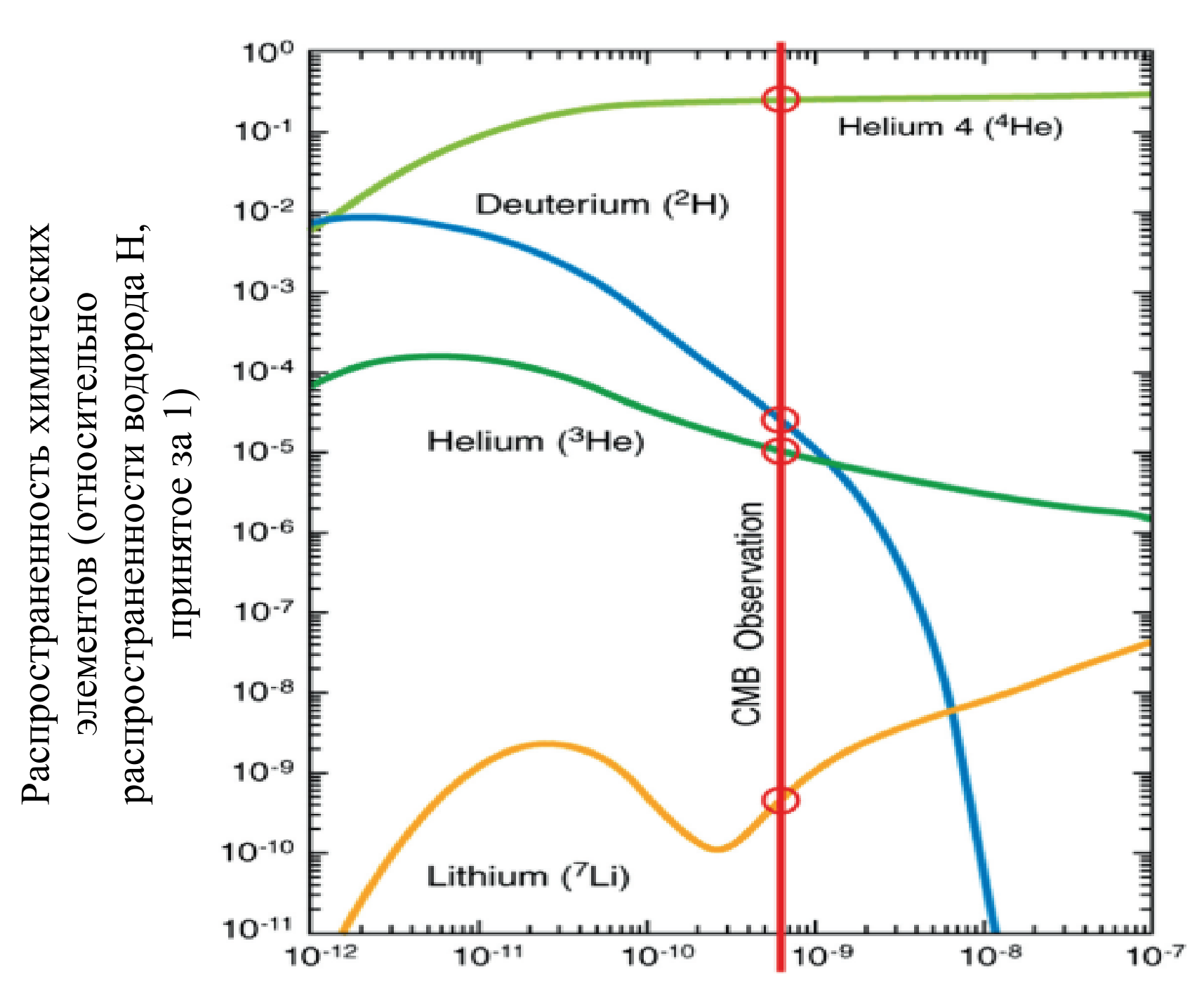
Распространенность **изотопа гелия ⁴Не** измеряется в областях НІІ в голубых компактных галактиках, которые претерпели очень мало процессов звездообразования; его величина в результате первичного нуклеосинтеза выводится (а) либо с помощью связанного с ним обилия азота или кислорода для отслеживания образования гелия в звездах, (б) либо просто усреднением по наиболее бедным металлами объектам.

Современные измерения ³He и ⁷Li

Доступные данные об **изотопе гелия** ³**Не** получены из Солнечной системы и некоторых облаков водорода в нашей Галактике. Это затрудняет вывод о космологическом изобилии этого изотопа. Элемент ³Не может как образовываться, так и разрушаться в звездах, и поэтому он ненадежен для его использования в качестве характеристики ранней Вселенной.

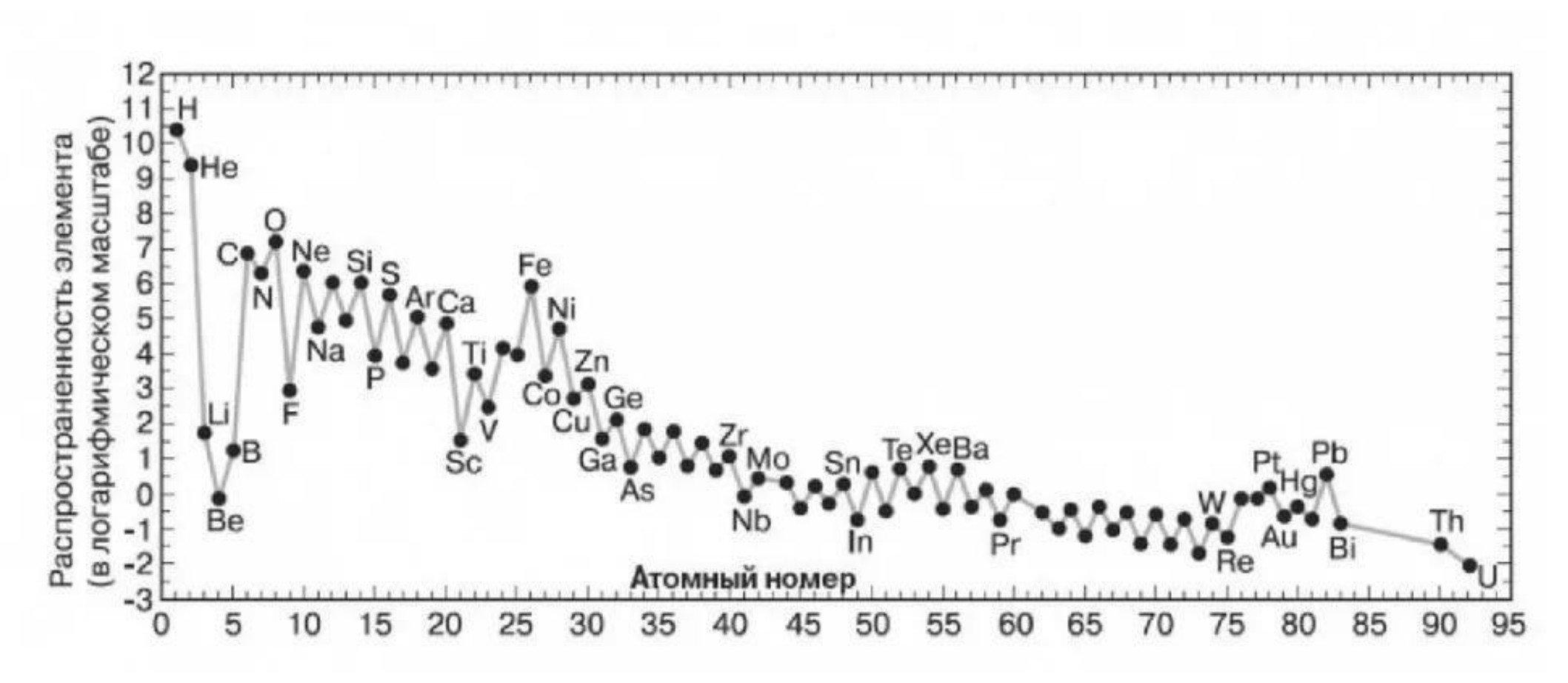
Наблюдаемая равномерная распространенность **изотопа лития** ⁷Li в самых горячих и самых бедных металлами звездах населения II в нашей Галактике, как полагают, отражает его изначальное количество, образованное в ранней Вселенной во время первичного нуклеосинтеза.

Однако данные измерений распространенности ⁷Li не согласуются с теоретическими предсказаниями. Эта проблема существует десятилетиями и не имеет убедительного решения.



Отношение общего числа протонов и нейтронов (барионов) к числу фотонов, полученное по наблюдениям реликтового излучения

Распространенность химических элементов во Вселенной

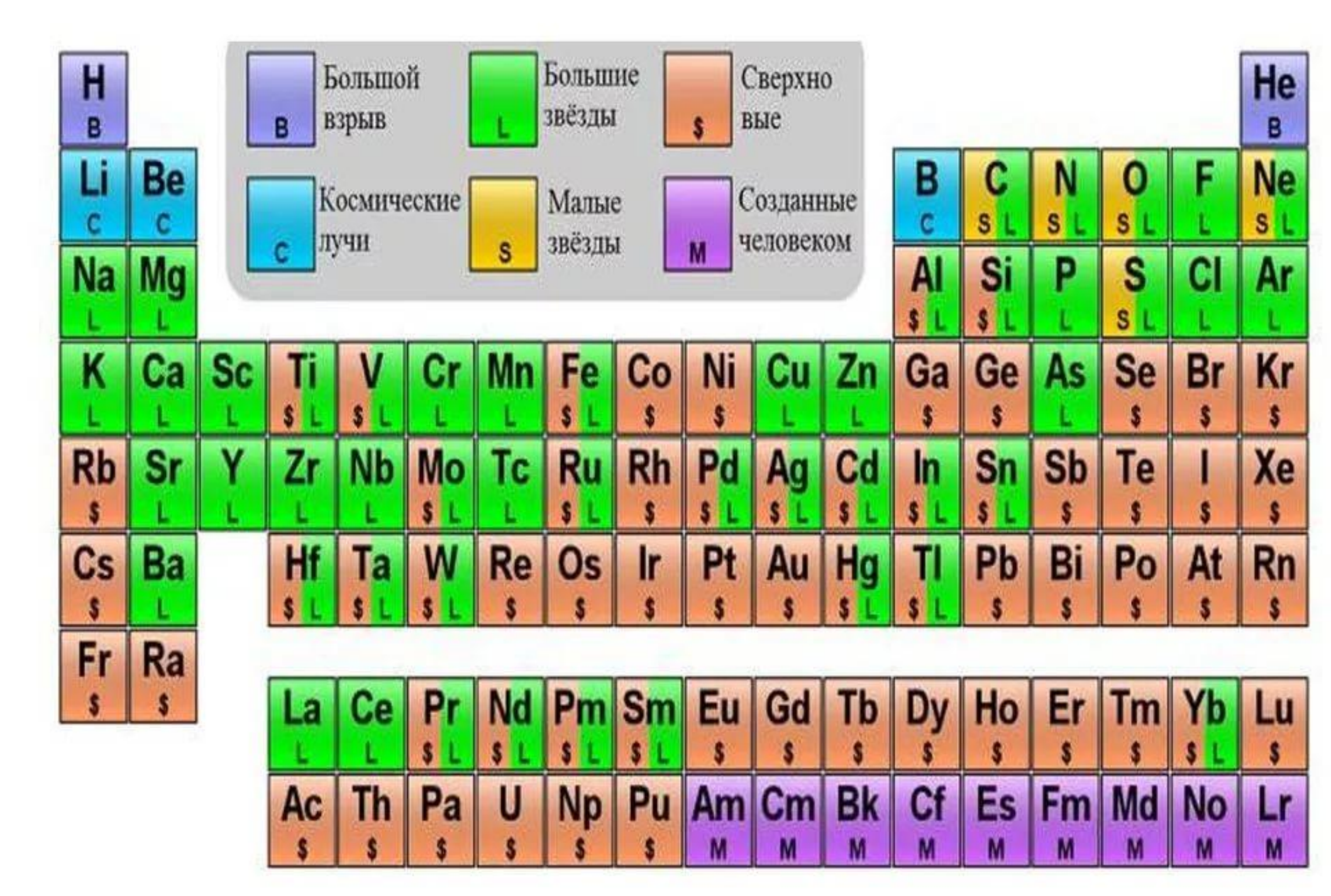


Звездный нуклеосинтез



Теоретически обосновано образование элементов от железа до висмута в звездах красных гигантах. Элементы тяжелее железа по большей части образуются в результате более высокоэнергетических космических процессов. Большинство тяжелых элементов образуются при слиянии нейтронных звезд, при вспышках сверхновых и наблюдаются в линиях спектров сверхновых.

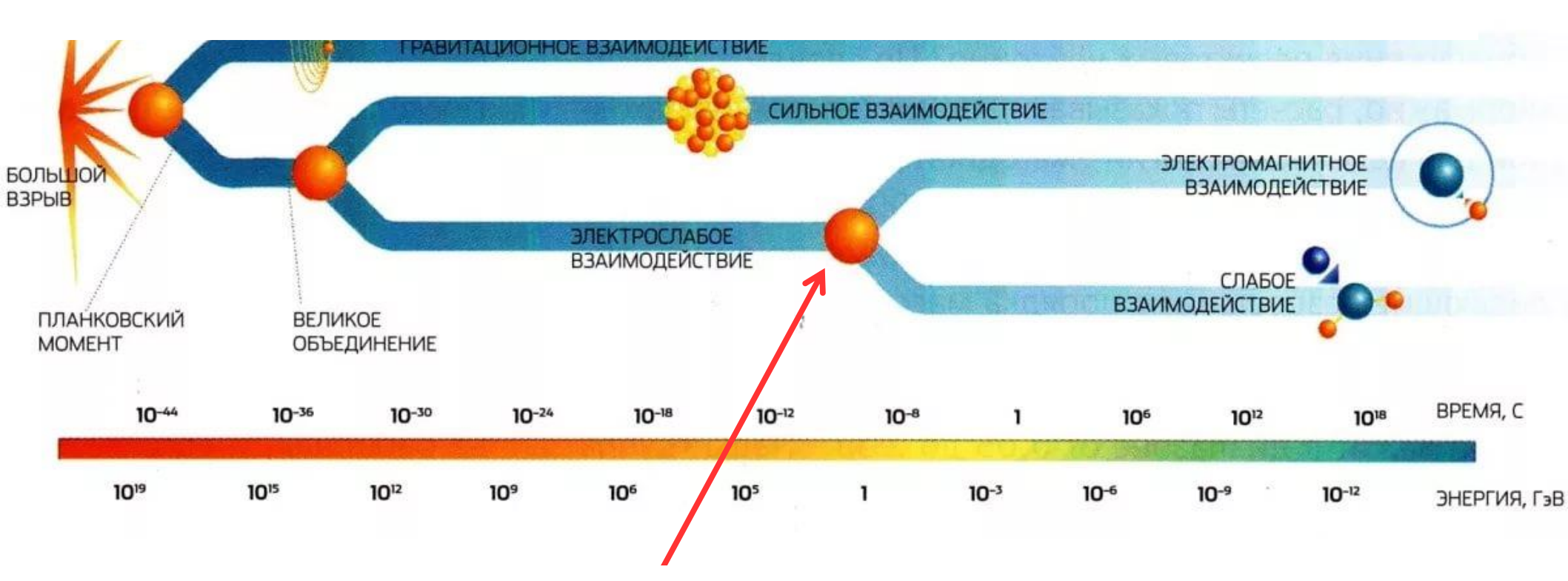
Образование химических элементов во Вселенной



| | оир 1 Группа ia 1.00794 | ~ | | | | | | | | | | | - | | • | | | 18 0 4.002602 |
|--|---|--|---|--|---------------------------------------|-------------------------------------|--|--|---|--|--|--|-------------------------------------|---|---|---|--|--|
| Period | 1 H | l Co | Bnen | ленн | ая п | ерио | личе | ская | и сис | тема | а эле | мент | ГОВ | Ι.И.І | Иен <i>л</i> | теле | eBa | 2 He |
| - ром | -252.87 2.02/- Hydrogen | | - r • · · | | | rr | M | 0 1 1 0 1 2 | | 2 01.20 | | | | | | | | -268.93 12.3 eV |
| Te | Водород Hydrogenium 6.941 | 2 Ila 9.012182 | Атомная масса, относительная | | | 186.207 Atomic mass, relative | | Цветная индикация | | | | 13 Illa 10.811 | 14 IVa 12.011 | 15 Va 14.00674 | 16 VIa 15,9994 | 17 VIIa 18.9984032 | Helium Гелий 20,1797 | |
| 2 | 3 Li [He]2s' | 4 Be | Распределение электронов | | | 75Re | Atomic N | Atomic No. Symbol Electron configuration | | по схеме присоели- | | | | 6 C | 7 2s ² 2p ³ | 8 2s ² 2p' | 9 F | 10 Ne |
| | 180.54 1347 0.98/0.97 1.57/1.47 | | 1 100 | ература плавле мпература кипе | ния (°C) | 3180 5627 | Melting point (°C) Boiling point (°C) | | | | | | 2210 ~2600 2.04/2.01 | ~3550 4827 2.55/2.50 | -195.8 3.04/3.07 | -218.4 -182.96 3.44/3.50 | -219.62 -188.11 3.98/4.10 | -246.05 |
| | Lithium Литий | The second secon | | Электроотрицательность ингу/по Аллреду и Рохову) | | 1.9/1.46 | Name | | нения нуклонов | | | Boron Eop Borum 26.981538 | Сагbол Углерод Carboneum | Nitrogenium | Охудел Кислород Oxygenlum 32.066 | Fluorine Orop Fluorum 35.4527 | Neon | |
| | 11 Na | 12 Mg 3s² 648.8 1107 1.31/1.23 | | Название Латинское название | | Rheniun Penui | | | S | P | D | F | 13 AI | 28,0855 14 Si 3s'3p' | 15 P | 16 S | 17 CI | 18Ar |
| 3 | 97.86 883.15 0.93/1.01 Sodium | | | | | Rheniun | n Latin nan | Eddil Hallid | | схема | схема | схема | 660.37 2467 1.61/1.47 | 1412 2355 1.90/1.74 | 44.14 280 2.19/2.06 | 112.8 444.674 2.58/2.44 | -100.98 -34.6 3.16/2.83 | -185.7 |
| | Натрий (Natrium) | Magnosium Магний | 3 IIIb | 4 IVb | 5 Vb | 6 Vib | 7 VIIb | 8 VIII | 9 VIII | 10 VIII | 11 lb | 12 IIb | Aluminium [Aluminum] Алюминий | Silicon Кремний Silicium | Phosphorus Фосфор | Sulphur Cepa (Sulfur) | Chlorine Xлор Clorum | Argon Apron |
| | 39.0983 19 K [Ar]4s' | 40.078 20 Ca | 44.955910 21SC 3d'4s' | 47.867 22 Ti 3d'4s' | 50.9415 23 V 3d'4s' | 51,9961 24Cr 3d'4s' | 54.938046 25 Mn 3d'4s' | 55.845 26Fe 3d'4s' | 58.933200 27Co 3d'4s' | 58.6934 28 Ni 3d'4s' | 63.546 29 C u 3d'°4s' | 30Zn | 69.723 31Ga 3d'°4s²4p' | 72.61 32Ge 3d'°4s'4p' | 74.92160 33AS 3d°4s'4p' | 78.96 34Se 3d ¹⁹ 4s ² 4p ⁴ | 79.904 35Br 3d*4s*4p* | |
| 4 | 63.65 774 0.82/0.91 | 839 1487 1.00/1.04 | 1541 2831 1.36/1.20 | 1670 3287 1.54/1.32 | 1890 3380 1.63/14.5 | 1857 2672 | 1244 1962 1.55/1.60 | 1535 2750 1.83/1.64 | 1495 2870 1.88/1.70 | 1453 2732 1.91/1.75 | 1083.4 2567 1.901.75 | 419.88 907 1.65/1.66 | 29.78 2403 | 937.4 2830 | 817 (3,7MPs) cy6n.615 2.18/220 | 217 684.9 | -7.25 58.78 2.96/2.74 | -156.6 -152.3 |
| | Potassium Калий (<i>Kalium</i>) | Calcium Кальций | Scandlum Скандий | Titanium Титан | Vanadium Ванадий | Chromlum Хром | Manganese Марганец <i>Manganum</i> | Iron Железо <i>Ferrum</i> | Cobalt Кобальт Cobaltum | Nickel Никель Niccolum | THE RESERVE THE PARTY OF THE PA | Zinc Цинк Zincum | 1.81/1.82 Gallium Галлий | 2.01/2.02 Germanium Германий | Arsenic Мышьяк Arsenicum | 2.55/2.48 Selenium Селен | Bromine Spom Bromum | Кгурton Криптон |
| | 85.4678 37Rb [Kr]5s' | 38 Sr | 88.90585 39 Y 4d'5s² | 40 Zr | 92.90638 41Nb | 42 Mo | 43 TC | 44 Ru | 102.90550 45 Rh 4d'5s' | 46Pd | 107.8682 47Ag 4d"5s' | 48Cd | 49 in | 118.710 50Sn 4d ¹⁰ 5s ² 5p ² | 121.760 51Sb 4d*5s'5p' | 127.60 52 Te 4d"5s'5p' | 126.90447 53 4d ¹⁰ 5s ² 5p ¹ | 131.29 54 Xe 4d"5s'5p" |
| 5 | 38.89 687.2 0.82/0.89 | 769 1384 0.95/0.99 | 1522 3337 1.22/1.11 | 4d*5s* 1852 4377 1.33/1.22 | 4d'5s' 2468 4742 1.6/1.23 | 4d'5s' 2617 4612 2.16/1.30 | 2172 4877 1.9/1.36 | 4d'5s' 2310 (~3900) 2.2/1.42 | 1966 3727 2.2/1.5 | 1552 3140 2.2/1.4 | 961.93 | 320.9 765 1.7/1.5 | 156.78 2080 1.78/1.5 | 231.88 2270 1.96/1.7 | 630.5 | 449.5 989.8 2.1/2.0 | 113.5 184.35 2.66/2.2 | -111.9 -107.1 |
| | Rubidium Рубидий | Strontium Стронций | Yttrium Иттрий | Zirconium Цирконий | Niobium Ниобий | Molybdaenum | Technetium Технеций | Ruthenlum Рутений | Rhodium Родий | Palladium Палладий | Silver Cepeбpo (Argentum) | Cadmium Кадмий | Indium Индий | Tin Onoso Stannum | Antimony Сурьма (Stibium) | Tellurium Теллур | lodine Иод <i>lodum</i> | Хепоп Ксенон |
| | 132.90545 55CS | 137.327 56Ba | 138,9055 57 La | 72 Hf | 180.9479 73 Ta | | 186,207 75Re | 190.23 76Os | 192.217 77 Ir | 78 Pt | 196.96655 79Au | 80Hg | 204.3833 81 TI 46"5d"6s'6p' | 207.2 82Pb 4f"5d"6s'6p' | 83 Bi | 84Po | 85 At 40'5d"6s'6p' | 86 Rn |
| 6 | [Xe]6s ² 8.5 678.4 0.79/0.86 | 725 1640 089/0,97 | 5d'6s ² 920 3454 1,10/1,08 | 4f ⁴⁵ d ² 6s ² 2227 4602 1.3/1.23 | 4f"5d"6s" 2996 5425 1.5/1.33 | 1.7/1.40 | 4f"5d"6s" 3180 5627 1.9/1,46 | 4f"5d"6s" 3045 5027 2.2/1.52 | 4f*5d'6s* 2410 4130 2.2/1.6 | 4f"5d"6s' 1773.5 3830 2.2/1.4 | 4f"5d"6s' 1064.43 2807 2.54/1.42 | 4f*5d*6s* -38.86 356.6 1.9/1.5 | 303.5 1457 1.62/1.44 | 327.5 1740 2.33/1.55 | 1564 | 254 962 2.0/1.76 | 302 337 2.2/1.86 | 4f"5d"6s'6p" -71.0 -61.8 5.1 eV |
| , | Caesium Цезий [Cesium] | Barlum Барий | Lanthanum Лантан | Hafnium Гафний | Tantalum Тантал | | Rhenium Роний | Osmlum Осмий | Iridium Иридий | Platinum Платина | Gold 3onoro Aurum | | Thallium Таллий | Lead Свинец (Plumbum) | Bismuth Bucmyt Bismuthum | Polonium Полоний | Astatine Actat Astatium | Radon Радон |
| | 87 Fr | 88 Ra | 89Ac | 104 Rf | 105 Db | 106 Sg | 107 Bh | 108 Hs | 109 Mt | 110 Ds | 111 Rg | 112 Cn | 113 Uut | (289) [303] 114 FI | 115 Ms | 116 LV | 117 Nr | 118 Rs |
| 7 | [Rn]7s' 27 677 0.7/0.86 | 7s² 970 1140 0.89/0.97 | 6d ¹ 7s ² 1050 (~3250) 1.1/1.0 | 5f`'6d*7s* | 51"6d'7s' | 5f*6d*7s* | 5f"6d"7s" | 5f '6d'7s' | 5f"6d'7s | | | | | | | | | |
| | Franclum Франций | Radlum Радий | Actinium Актиний | Rutherfordium Резерфордий | Dubnlum Дубний | Seaborglum Сиборгий | Bohrlum Борий | Hasslum Хассий | Meltnerlum Мейтнерий | Дармштадтий | Рентгений | Коперниций | Ununtrium Унунтрий | Флеровий | Московий | Ливерморий | Новороссий | Россий |
| * Element has no stable nuclides. For radioactive elements the value in parentheses refers to the number of nucleons (mass number) of the most stable isotope (IUPAC, 1995). * Элемент не имеет устойчивых изотопов. Для него в скобках приведено значение массового числа (число нуклонов в ядре) наиболее долгоживущего изотопа (ИЮПАК, 1995). () Alternative english name | | | in . | 140.116 58Ce | 59 Pr | 60Nd | 61 Pm | 150.36 62Sm | 151.964 63 E u | 157.25 64Gd | 65 Tb | 162.50 66 Dy | 164.93032 67Ho | 167.26 68 Er | 69Tm | 70Yb | 174.967 71Lu | |
| | | | | 4f°6s² 798 3426 ~1.2/1.1 | 4f'6s' 931 3512 ~1.2/1.1 | 3068 | 4f'6s² 1168 2460 1.2/1.1 | 4f*6s* 1077 1791 | 4f'6s ² 822 1597 ~1.2/1.0 | 4f'5d'6s² 1312 3250 ~1.2/1.1 | 4f°6s² 1356 3123 ~1.2/1.1 | 4f°6s² 1409 2562 ~1.2/1.1 | 4f"6s" 1474 2695 ~1.2/1.1 | 4f"6s" 1529 2863 ~1.2/1.1 | 1947 | 4f"6s" 819 1193 ~1.2 /1.1 | 3302 | © Р.С.Сайфуллин, |
| | | | oro oo) | Сегіum Церий | | Neodymlum | | | Europium | Gadolinium Гадолиний | Terblum | Dysprosium Диспрозий | Holmium | Erblum Эрбий | | Ytterbium | Lutetium | A.P.Сайфуллин, 2004 © R.S.Saifullin, |
| | | | | 90 Th | 91 Pa | 92 U | 93 Np | 94 Pu | 95 Am | | 97 Bk | 98 Cf | 99Es | 100 Fm | 101 Md | 102 No | 103 Lr | |
| [] American spelling of the element's name () Альтернативное английское | | | 0323 | 6d ² 7s ² 1750 (~3800) | 5f°6d'7s² 1572 4230-4500 | 3818 | 5f'6d'7s ² 639 3902 | 5f ⁶ 7s ² 641 3340 | 5f'7s' 996 2607 | 5f'6d'7s' 1340 3110 | 2630 | 1227 | 5f"7s² 860 | 5f ¹² 7s ² - | 5f ³ 7s² | 5f"7s" - | 5f'6d'7s' | |
| название [] Американокое Написафия (1111° 0.1° 11 названия элемента | | | atura.ru | 1.11/1.1 Thorlum Торий | | | 1.22/1.2 Neptunium Нептуний | | ~1.1/1.2 Americium Америций | 1.2/1.2 Curium Кюрий | Berkellum | 10000 | 1.3/- Einsteinlum Эйнштейний | 1.3/1.2 Fermium Фермий | Mendelevium | | 1.3/- Lawrencium Лоуренсий | |
| | | | TO DATE | The state of the s | y pain | | This Action | | Кюрии | Сорилин | палифорния | O PARTICION AND ADDRESS OF THE PARTICIPATION AND ADDRESS OF THE PA | Сорини | - Intervalor tento | TIOOTIFIE | Jioy parterin | , | |

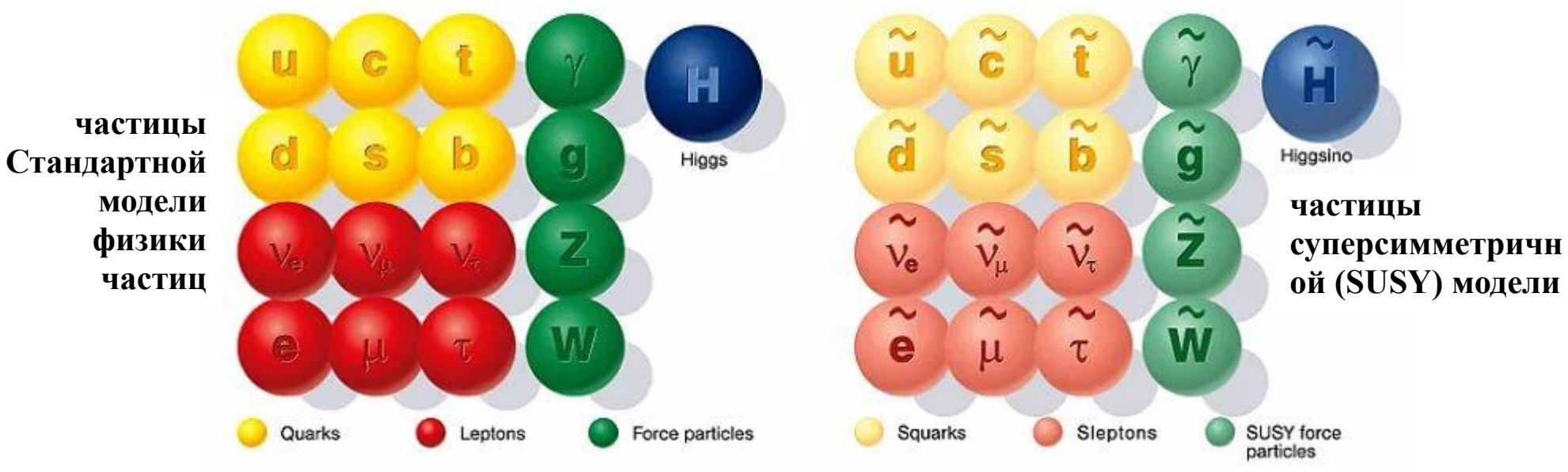
За пределами Стандартной модели физики частиц

Энергетическая шкала объединения разных типов взаимодействий



Стандартная модель физики частиц содержит экспериментально подтвержденное объединение электромагнитного и слабого взаимодействий





Барионная асимметрия Вселенной

Во Вселенной присутствуют барионы (протоны, нейтроны), но практически отсутствуют антибарионы (антинейтроны, антипротоны).

Как и проблема массивных нейтрино, проблема барионной асимметрии не может быть решена в рамках Стандартной модели физики частиц — необходима более общая теория элементарных частиц.

Необходимые условия Сахарова для существования барионной асимметрии:

- 1) **Несохранение барионного или лептонного числа**. Протон стабилен, что указывает на сохранение барионного числа. Но наличие массы нейтрино указало бы на несохранение лептонного числа (потому что нейтрино могут переходить одни в другие т.н. осцилляция нейтрино).
- 2) **Нарушение С или СР инвариантности**. ДА, т.к. наблюдалось превращение мезона (странный кварк + u- или d- кварк) в антимезон и обратно

3) Нарушение теплового равновесия Вселенной. ДА, т.к. есть расширение Вселенной

СРТ-инвариантность

С – "операция зарядового сопряжения", подмена всех частиц на античастицы

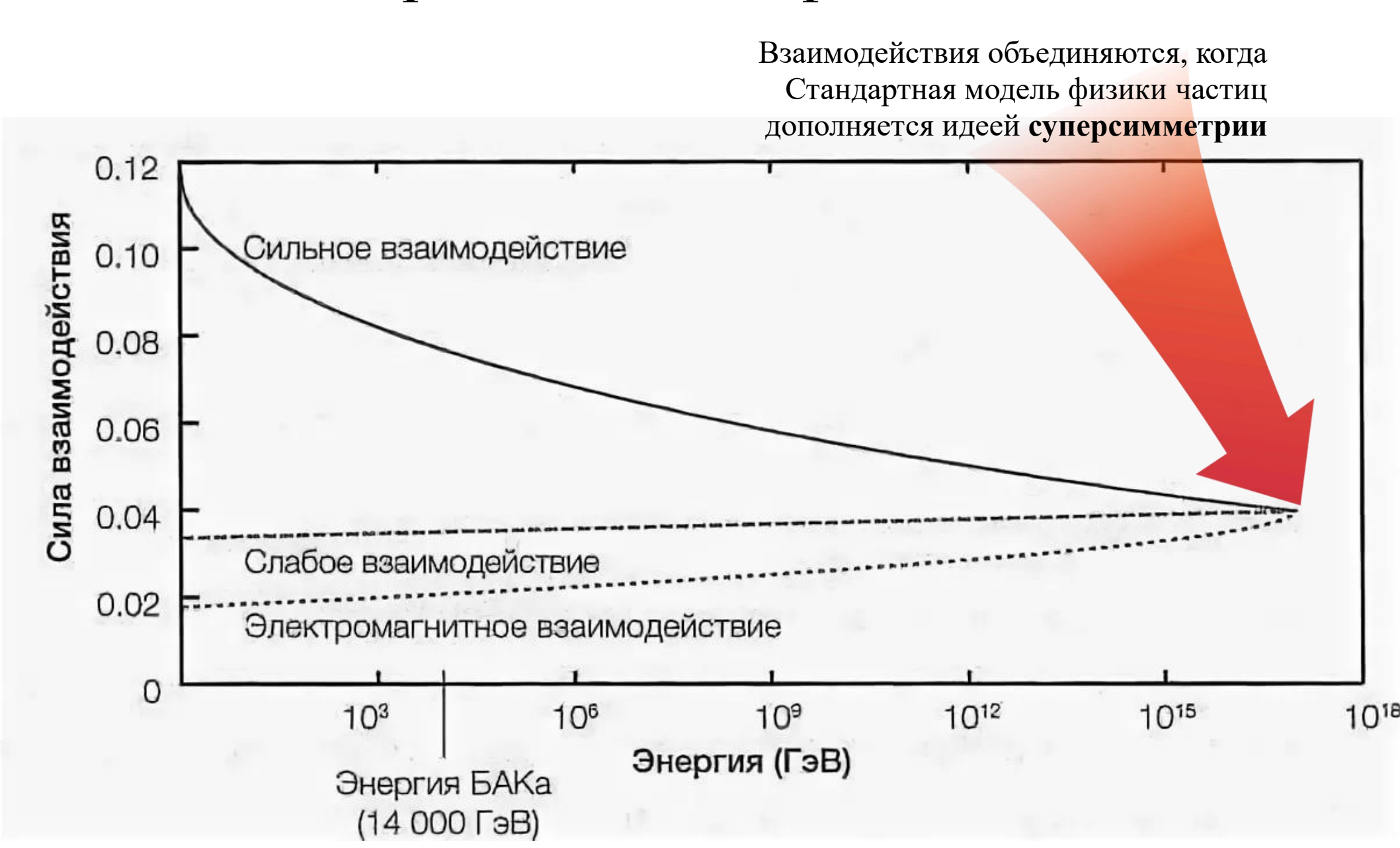
Р – "операция пространственной инверсии", изменение знака всех трехмерных (пространственных) векторов; СР называется "комбинированная СР-четность"

Т – обращение времени

СРТ-теорема

Все физические процессы должны быть инвариантны относительно совместного действия всех трех типов (С, Р и Т) преобразований.

Поиск единой теории лежит за рамками Стандартной модели физики частиц



Кандидат на роль единой теории: Суперсимметрия (SUSY)

фермионы (кварки, лептоны)



бозоны (фотоны, глюоны, W-, Zбозоны, бозон Хиггса)

Если во Вселенной реализуется принцип суперсимметрии, то каждой известной частице должен соответствовать суперсимметричный партнёр, спин которого

отличается на 1/2.

| ı C | t | () (H) | ũ | ĉ | ĩ | () () |
|----------------|----------------|--------|-----------------|--------------------------------|--------------------|-------------------|
| d s | b | Higgs | ď | ° S | ĥ | g Higgsind |
| / _a | V _t | Z | √v _e | $\widetilde{\mathbf{v}}_{\mu}$ | \tilde{v}_{τ} | Ž |
| e μ | τ | W | e e | μ | ~ | ŵ |

Стандартные частицы

Суперсимметричные частицы

| No. | Частица | спин | SUSY-партнер | спин |
|-----|-----------------|------|--|------|
| 1 | кварк | 1/2 | скварк | 0 |
| 2 | лептон | 1/2 | слептон | 0 |
| 3 | нейтрино | 1/2 | снейтрино | 0 |
| 4 | фотон | 1 | фотино | 1/2 |
| 5 | глюон | 1 | глюино | 1/2 |
| 6 | W-бозон | 1 | вино | 1/2 |
| 7 | Z -бозон | 1 | зино | 1/2 |
| 8 | бозон Хиггса | 0 | хиггсино | 1/2 |
| 9 | гравитон | 2 | Буратино шутка! Конечно, гравитино | 3/2 |

Кандидат на роль единой теории: Квантовая гравитация

Теориия гравитации (ОТО)

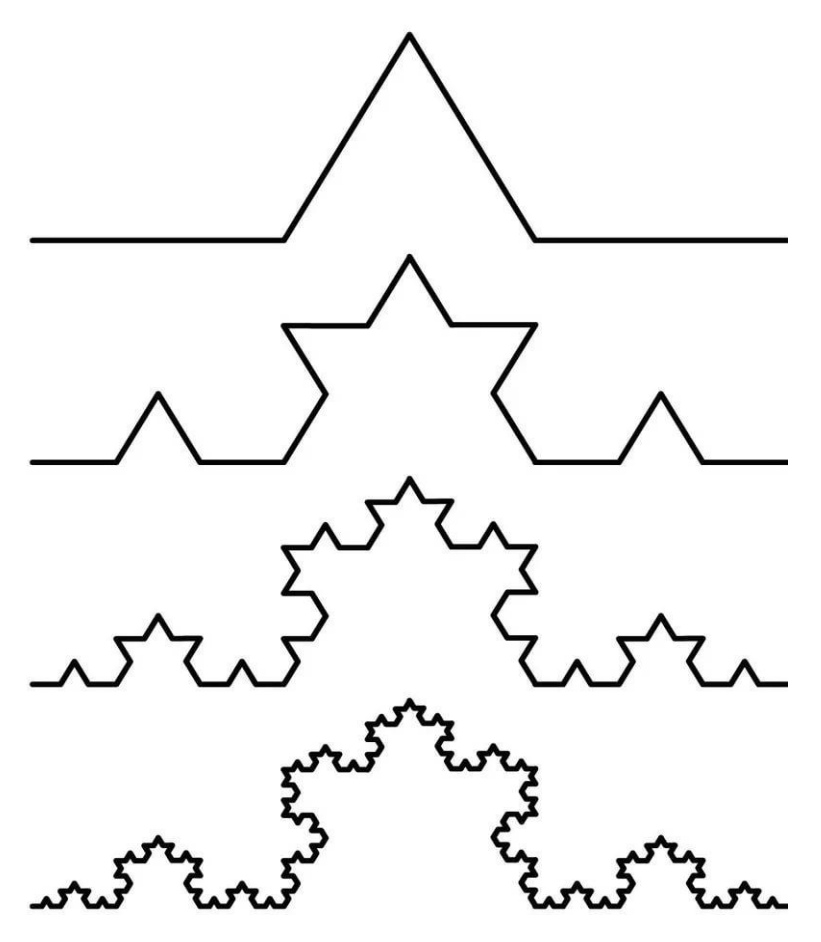
Теория поля

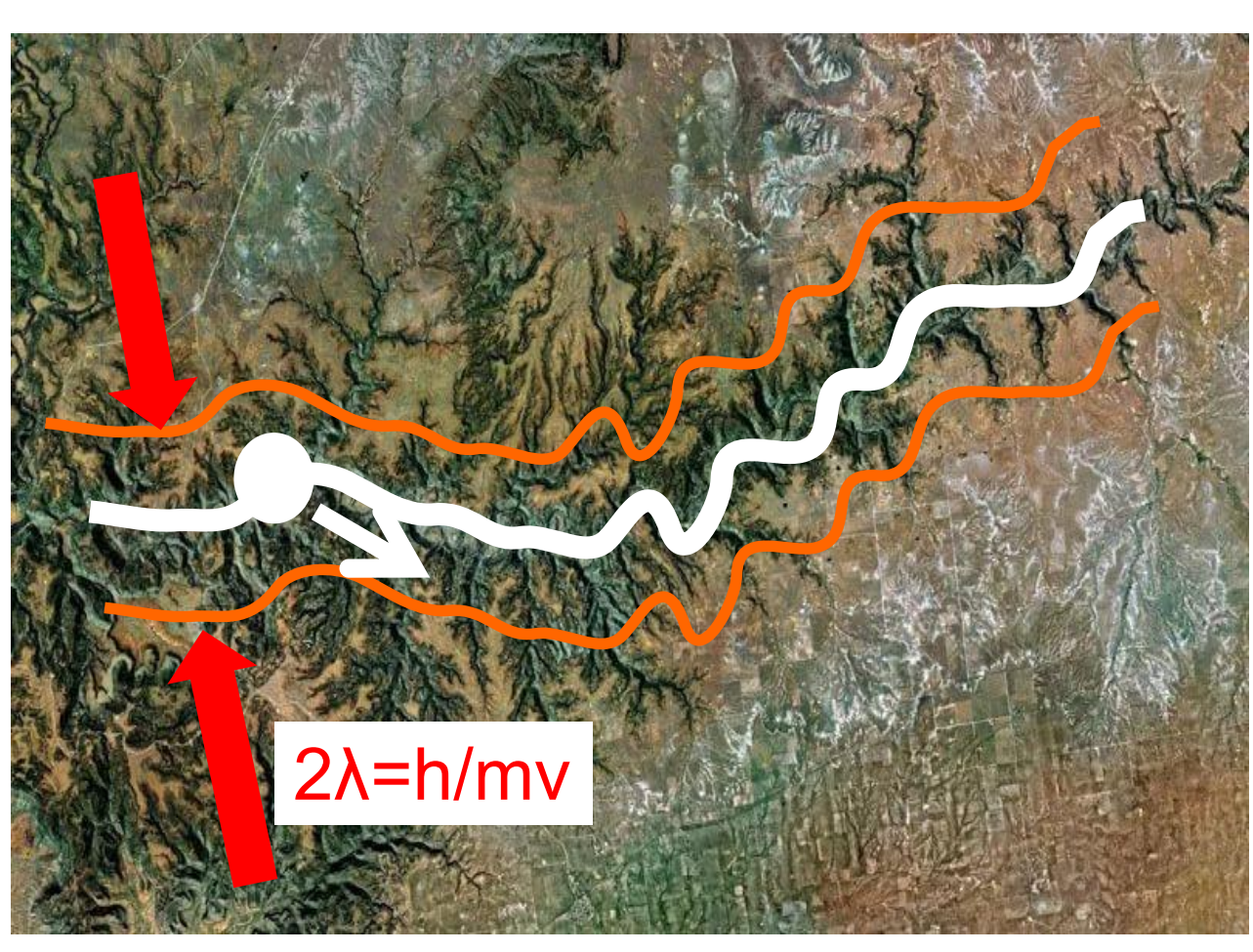
Частица Поле (амплитуда, фаза, частота)

Траектория частицы

Вероятность обнаружить частицу

Квантовая гравитация



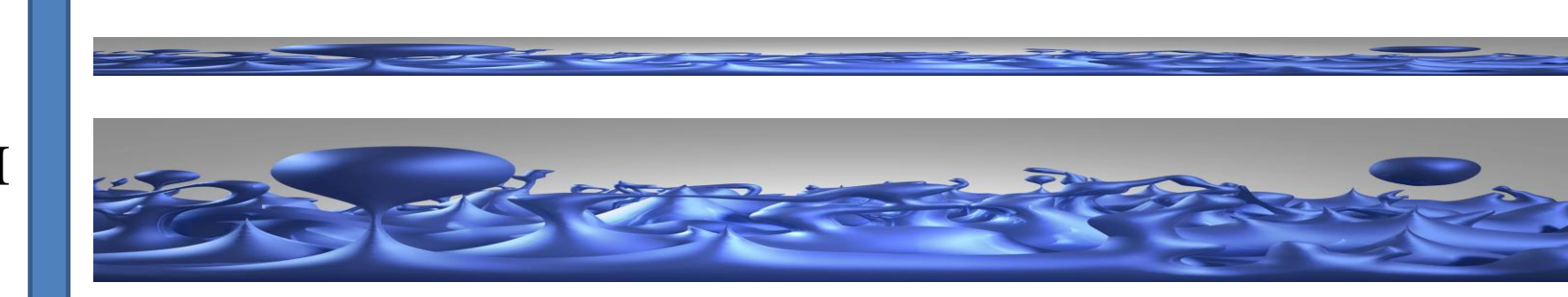


Рождение Вселенной из квантовых флуктуаций

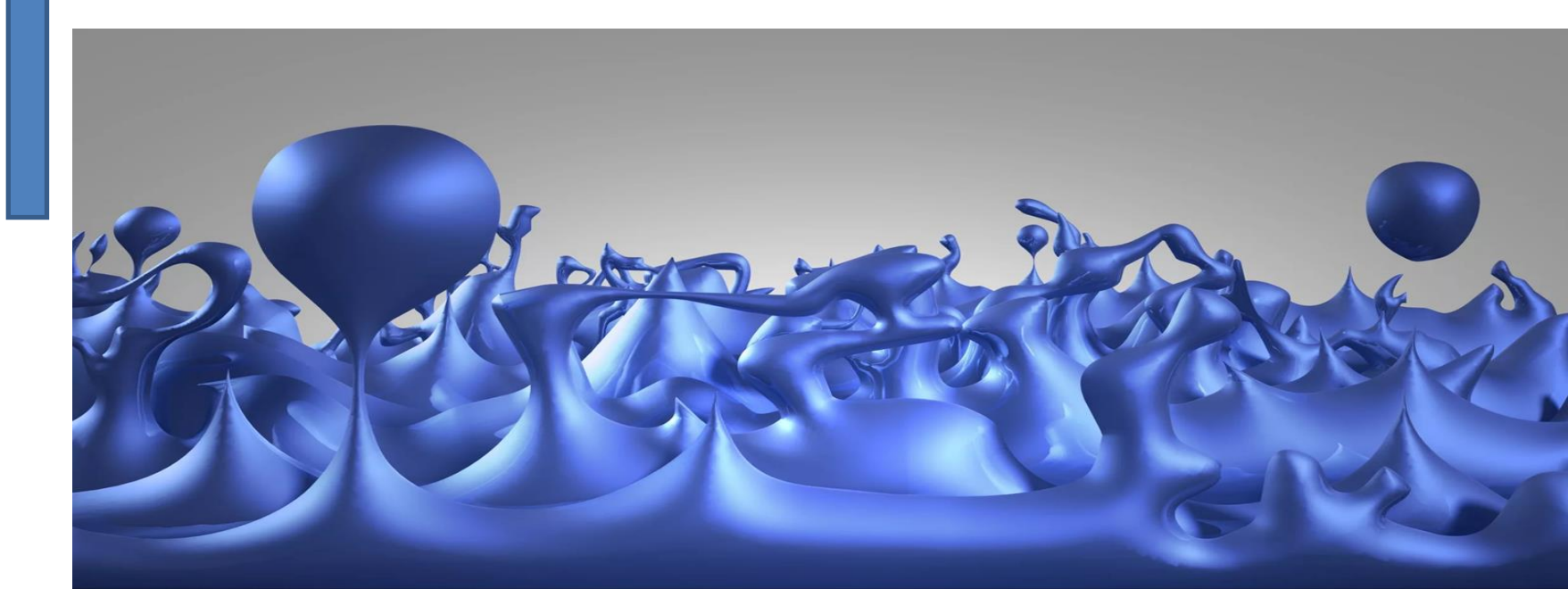
 10^{-16} cm

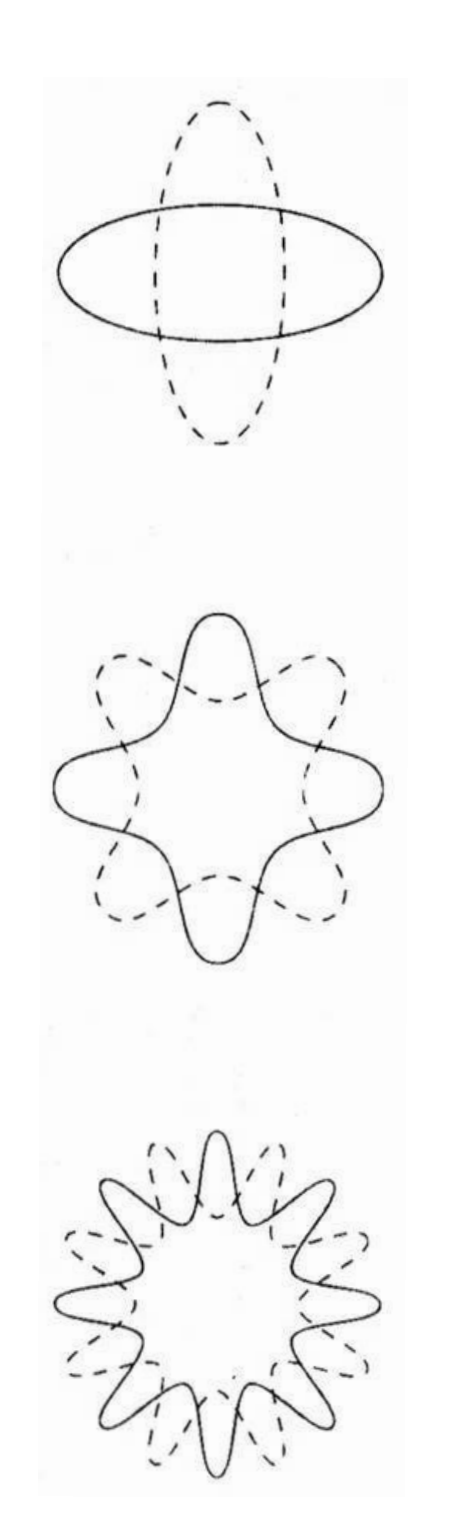
гладкое пространство-время

 10^{-30} cm

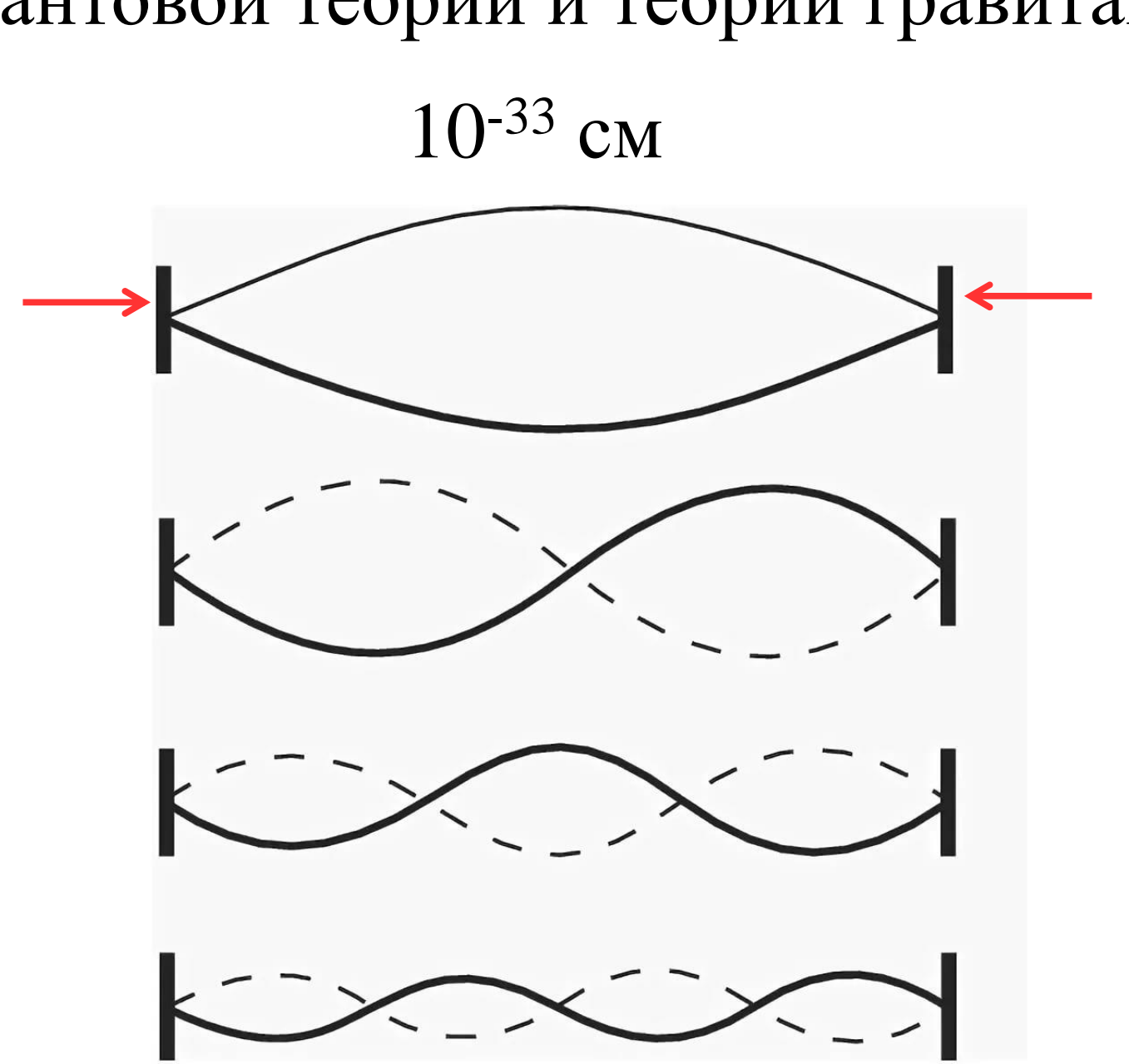


10-33 см





Суперструны: попытка совмещения квантовой теории и теории гравитации



Суперструны: попытка совмещения квантовой теории и теории гравитации

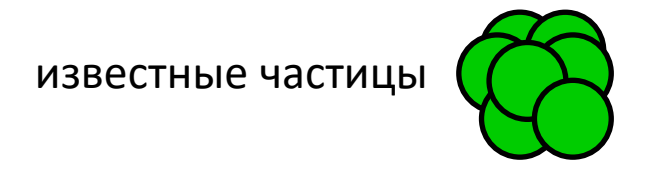
Жесткость струны обратно пропорциональна квадрату ее **длины**.

Почти все колебания струны — очень высокоэнергетические и соответствуют огромному количеству неизвестных частиц с гигантскими массами (порядка 10^{19} масс протона и выше).



«темная башня » неизвестных частиц

~10¹⁹ ГэВ



~100 ГэВ

Суперструны

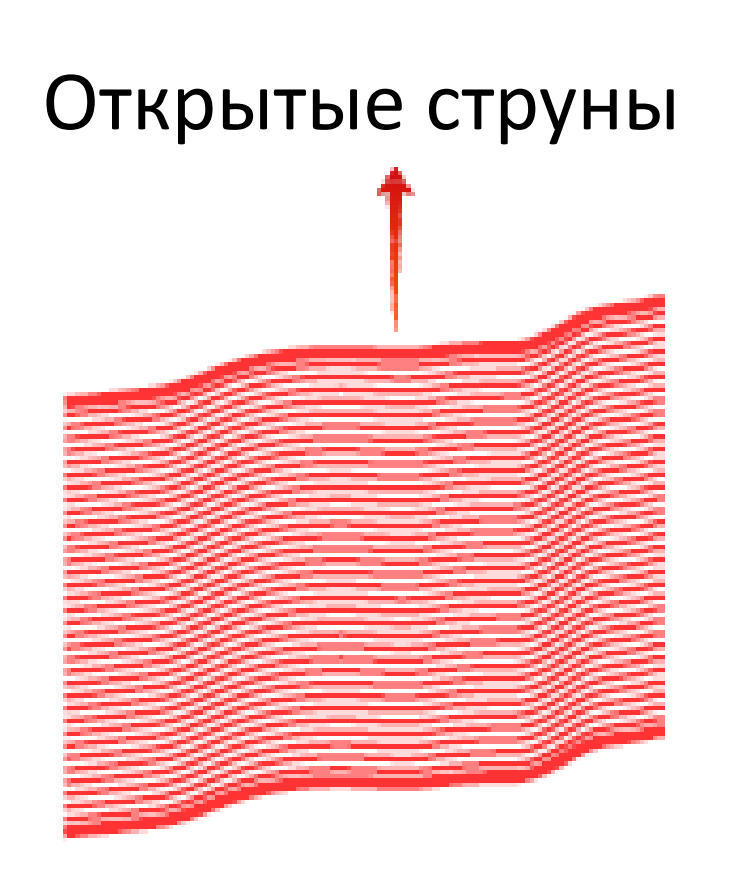
Замкнутые струны

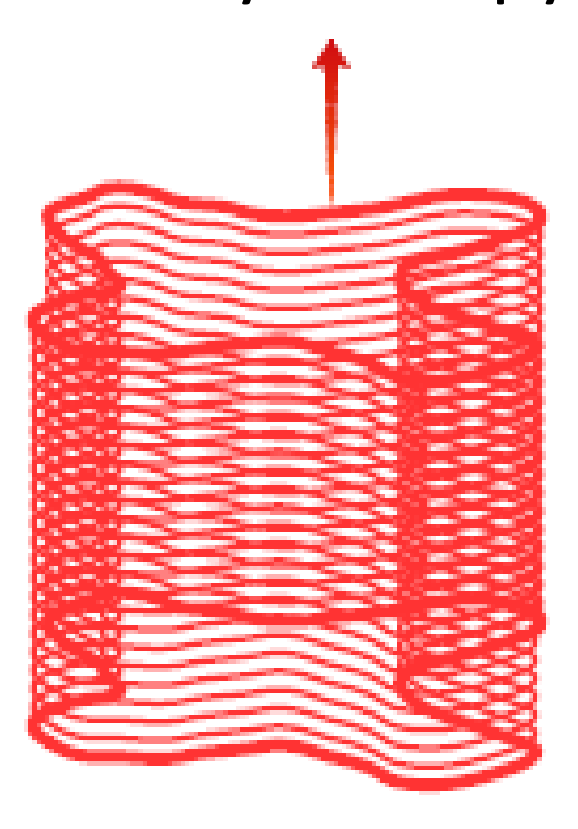
Открытые струны



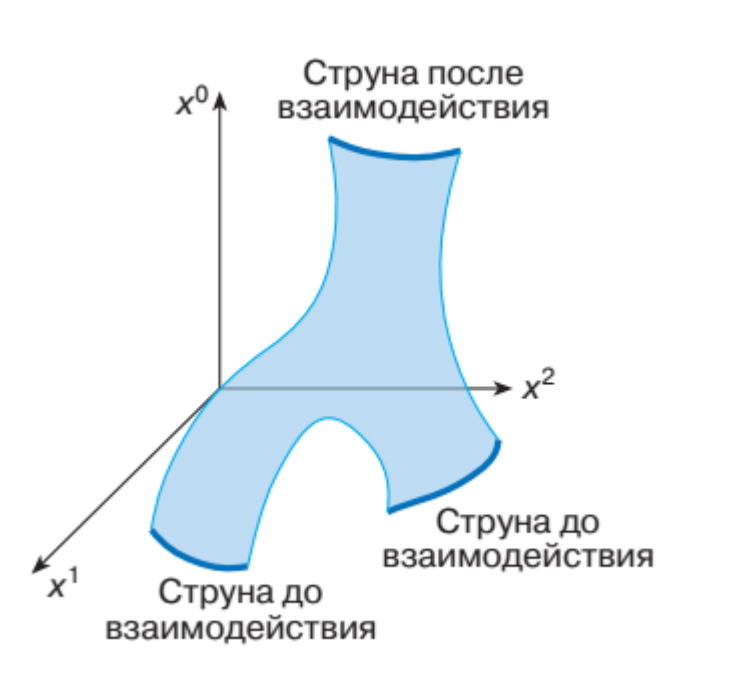
Суперструны

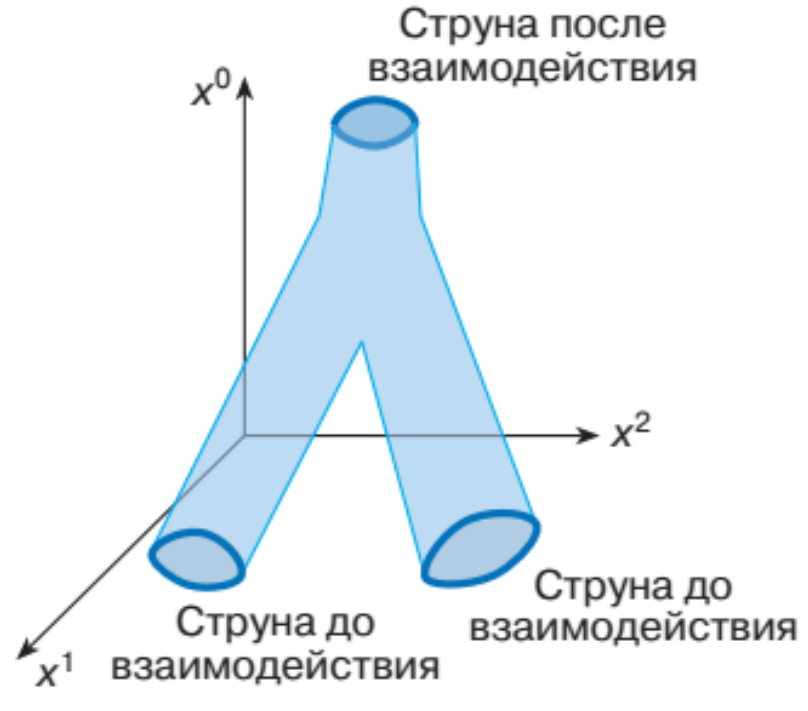
Замкнутые струны

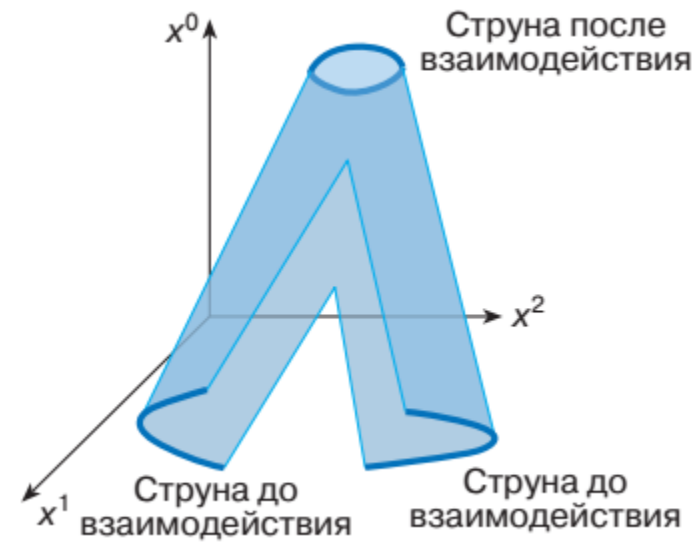




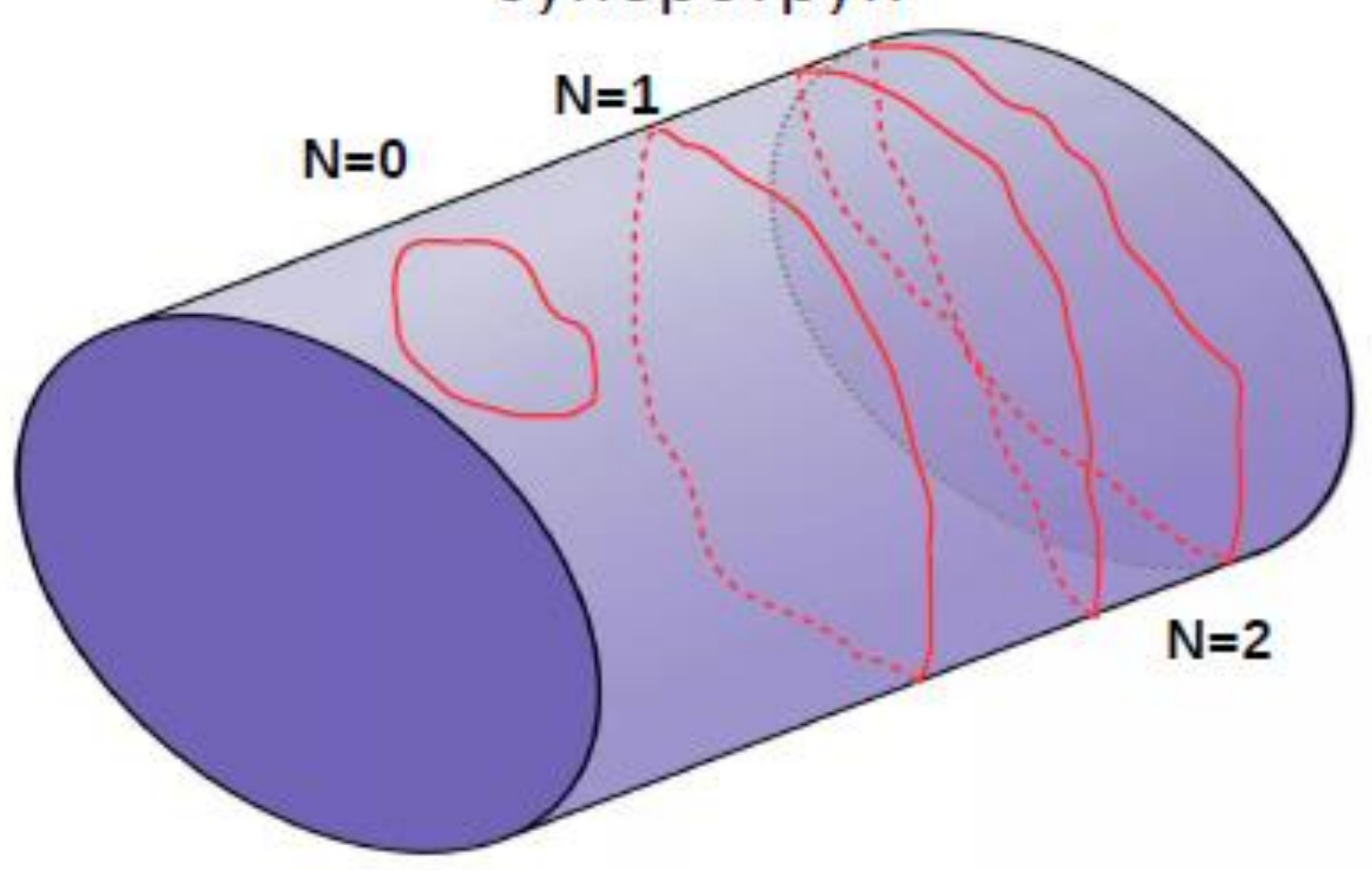
Взаимодействия суперструн



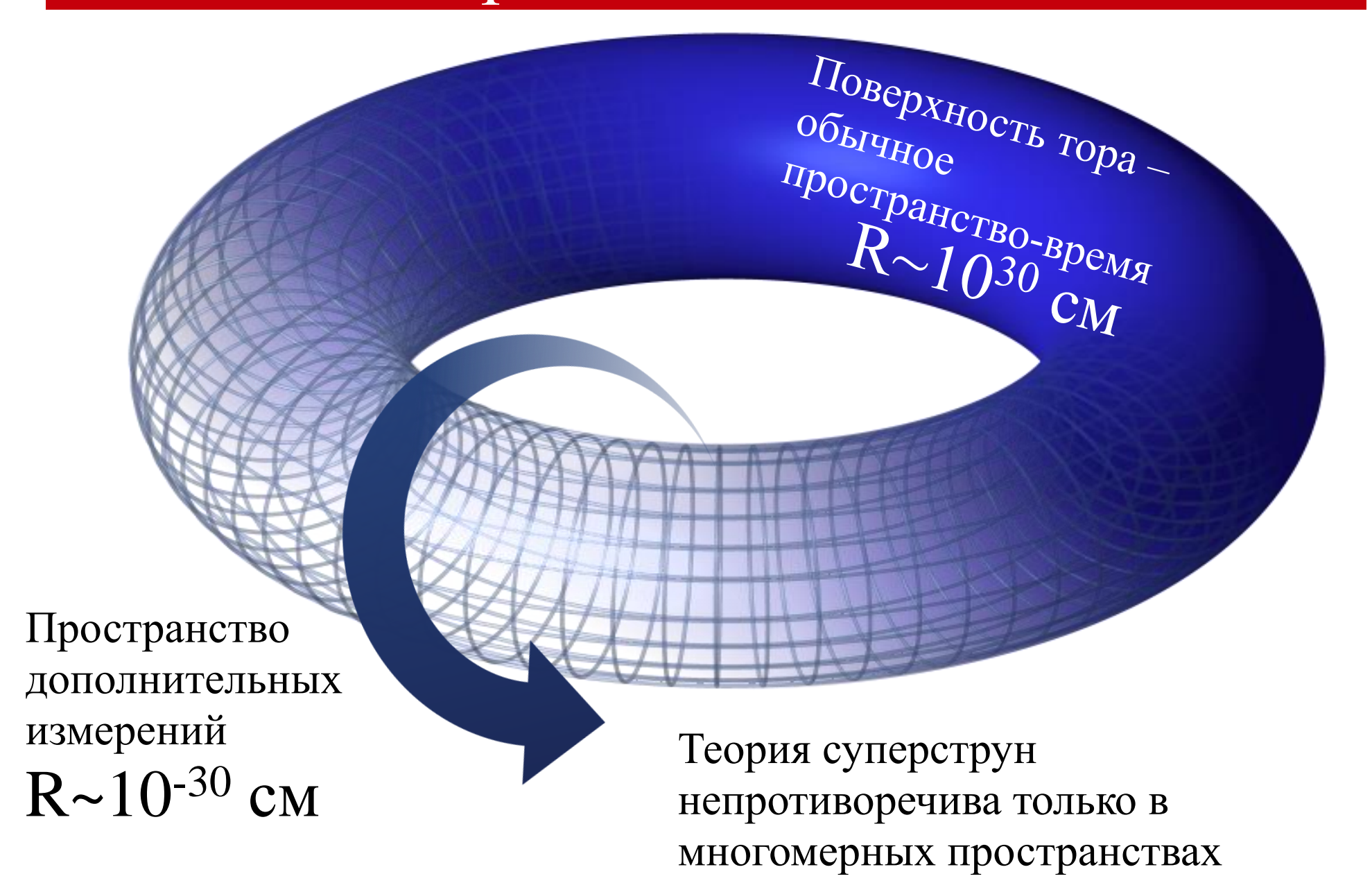


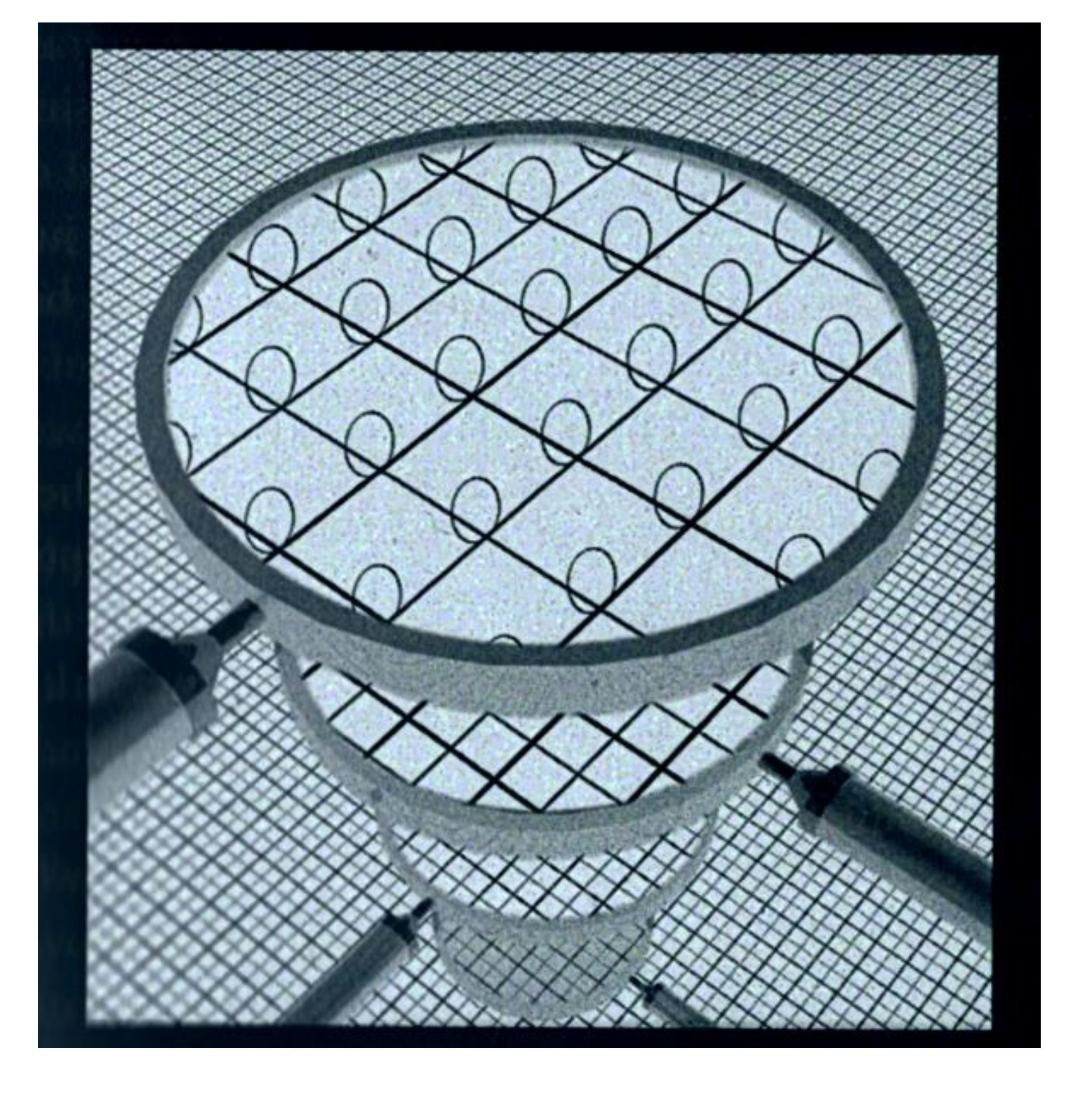


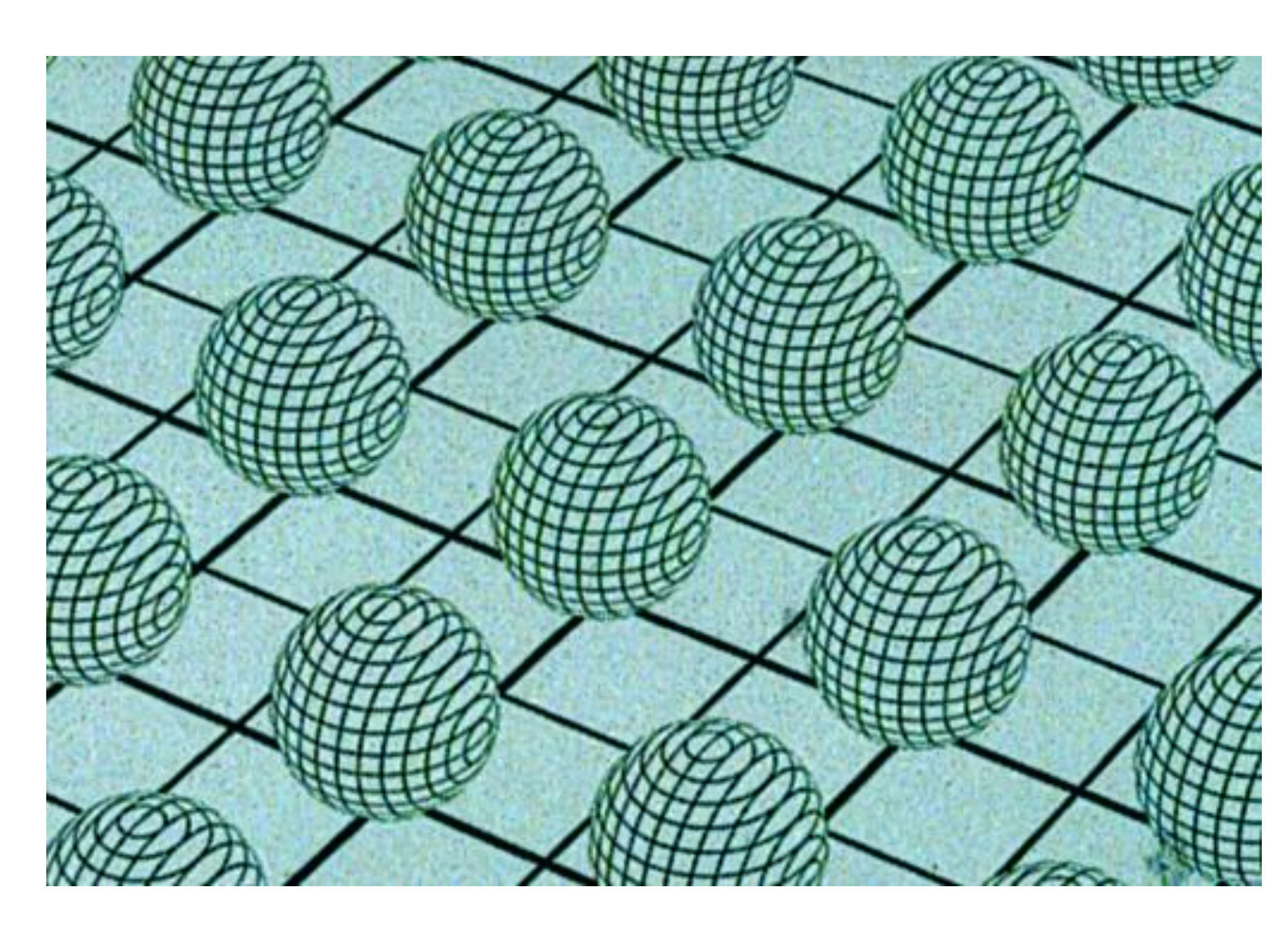
Топологическое число для суперструн



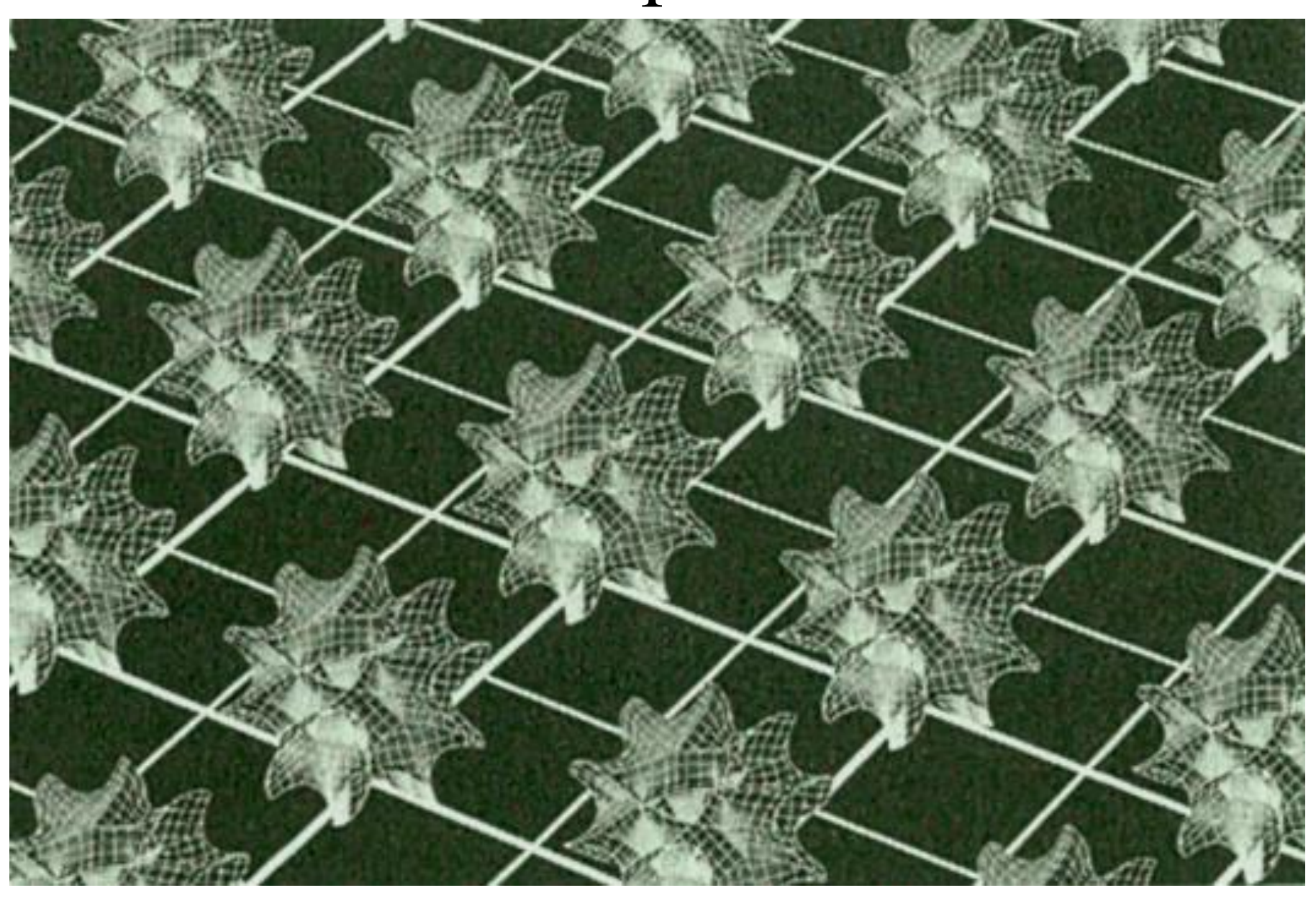
Физика за пределами Стандртной модели на сверхмалых масштабах



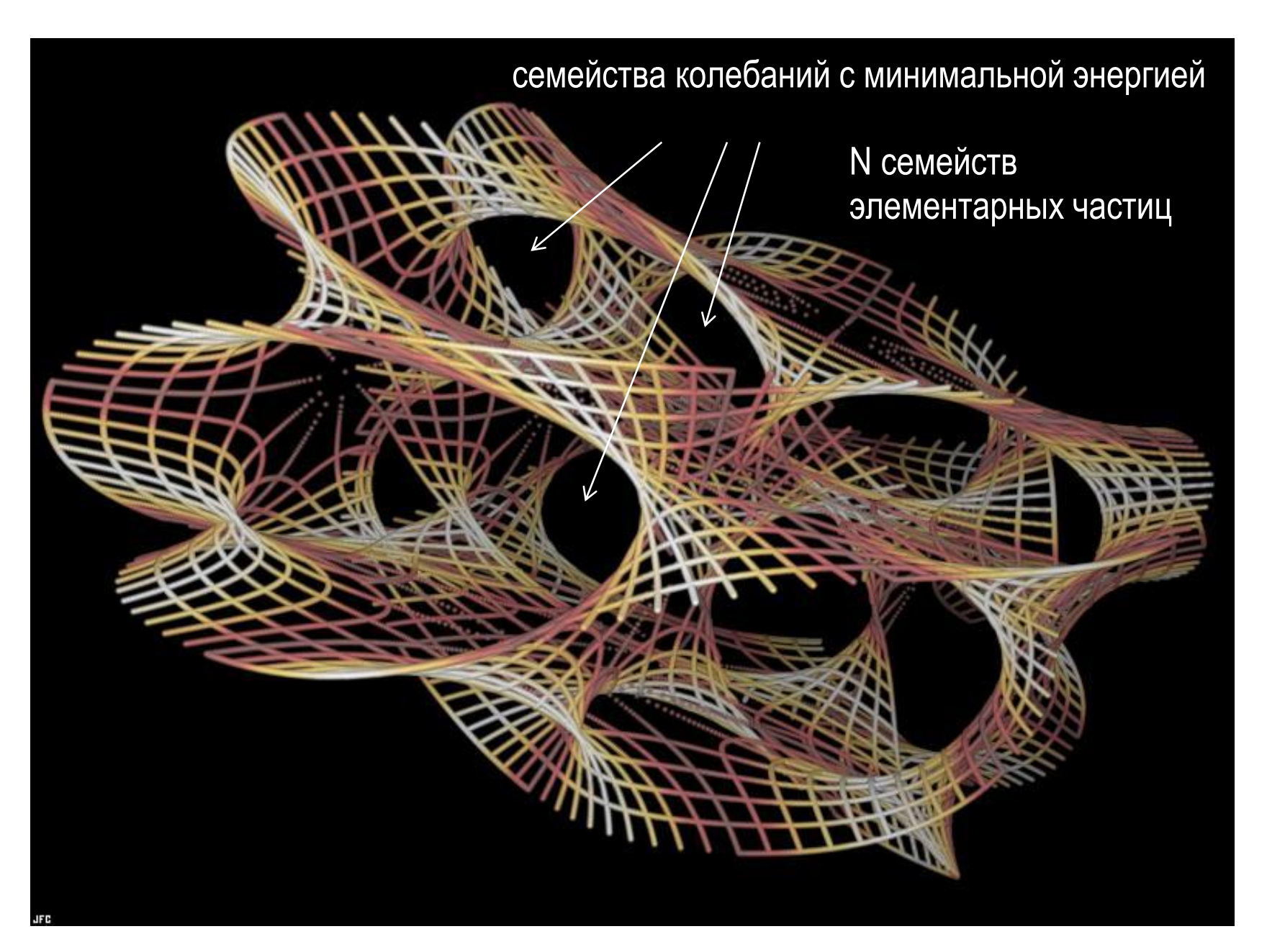




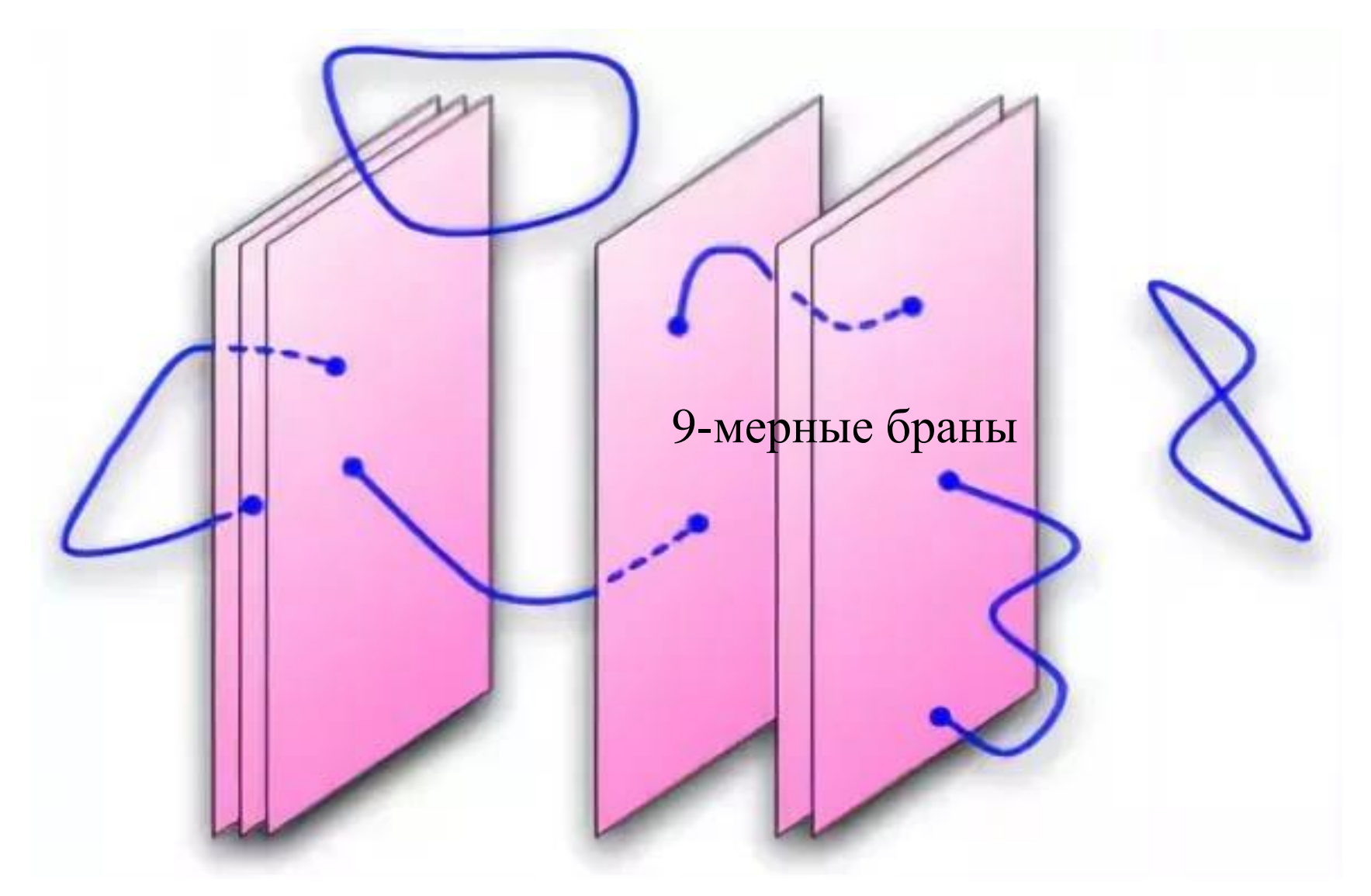
Пространство при сверхвысоких энергиях



Многообразие Калаби-Яу



Струны и браны



11-мерное объемлющее пространство



0

М-теория

Теория струн типа I

Аналогичная теории IIB, но с добавлением незамкнутых струн



Живет в 10 измерениях.

струнной петли, которые

Колебательные возбуждения вдоль

распространяются как по часовой стрелке так и против, идентичны. Это значит, что все образующиеся

Живет в 10 измерениях. Частицы могут вращаться в разных направлениях



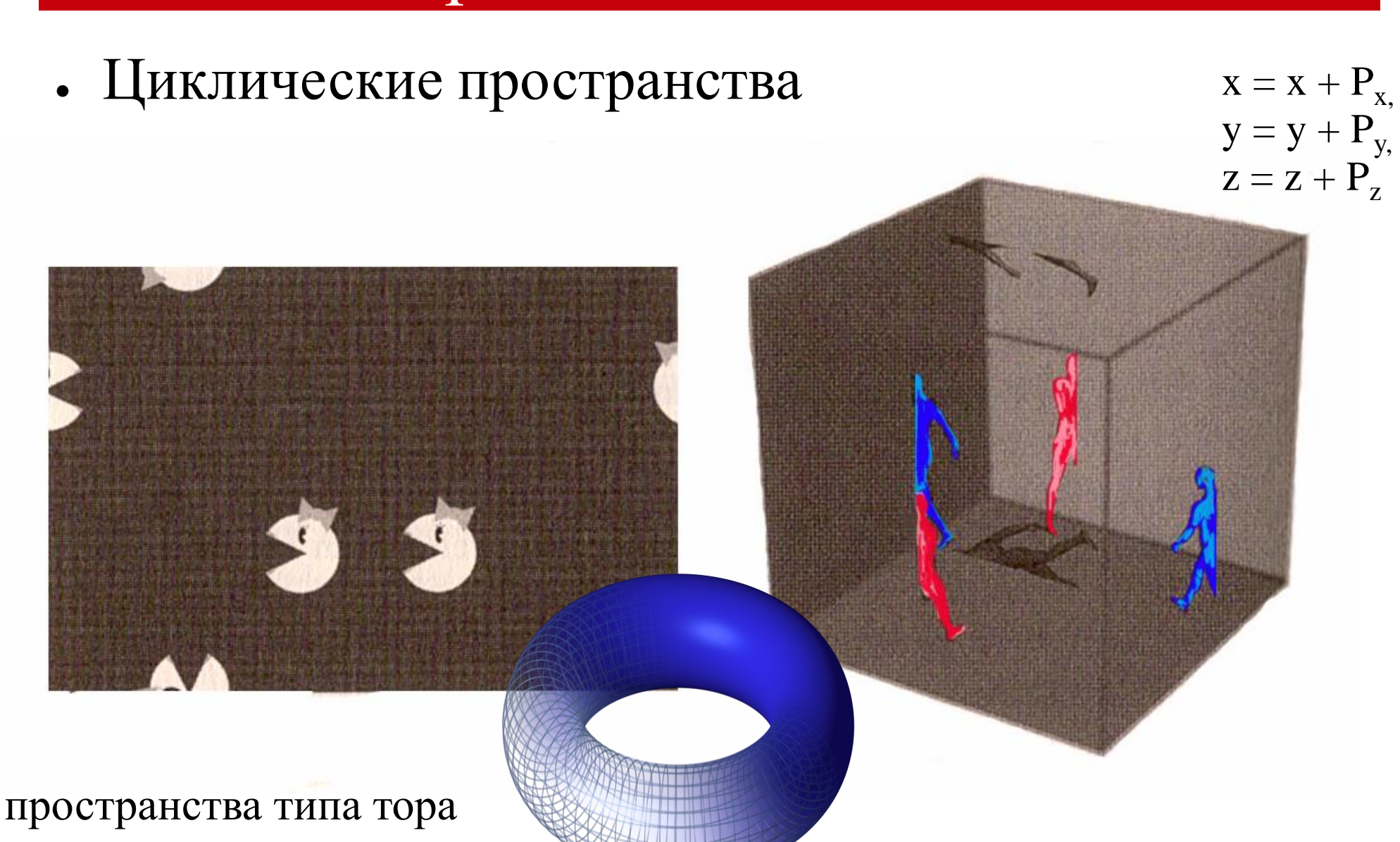
Теория О – гетеротических струн

Теория Е – гетеротических струн

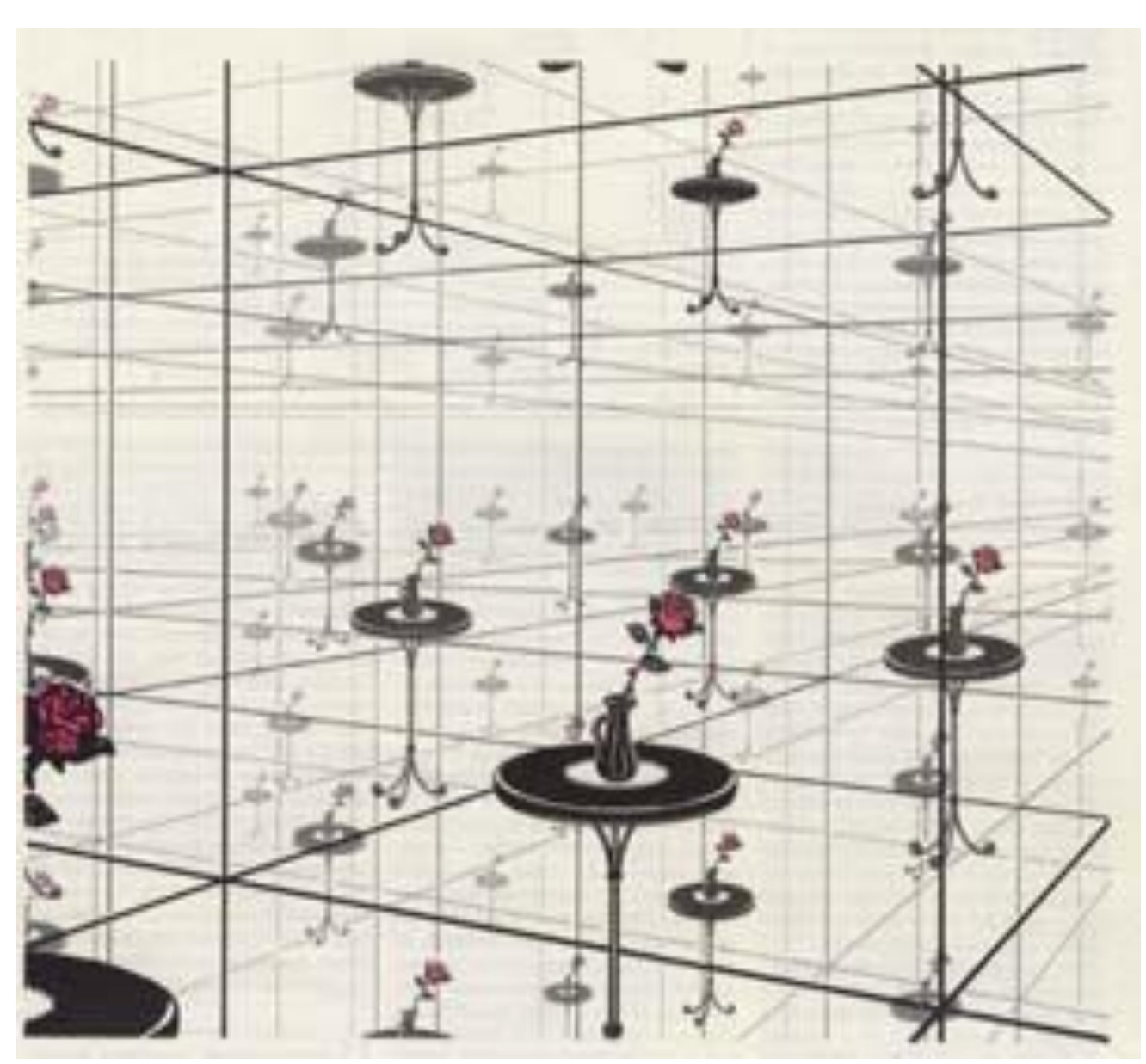
В гетеротических теориях колебательные моды против часовой стрелки живут в 26 измерениях, а по часовой – в 10. Но лишние 16 измерений можно скрутить в тороидальные многообразия (двумя способами – отсюда О- и Е-теории).

11-мерная теория супергравитации

Физика за пределами Стандртной модели на сверхбольших масштабах



Циклическое пространство

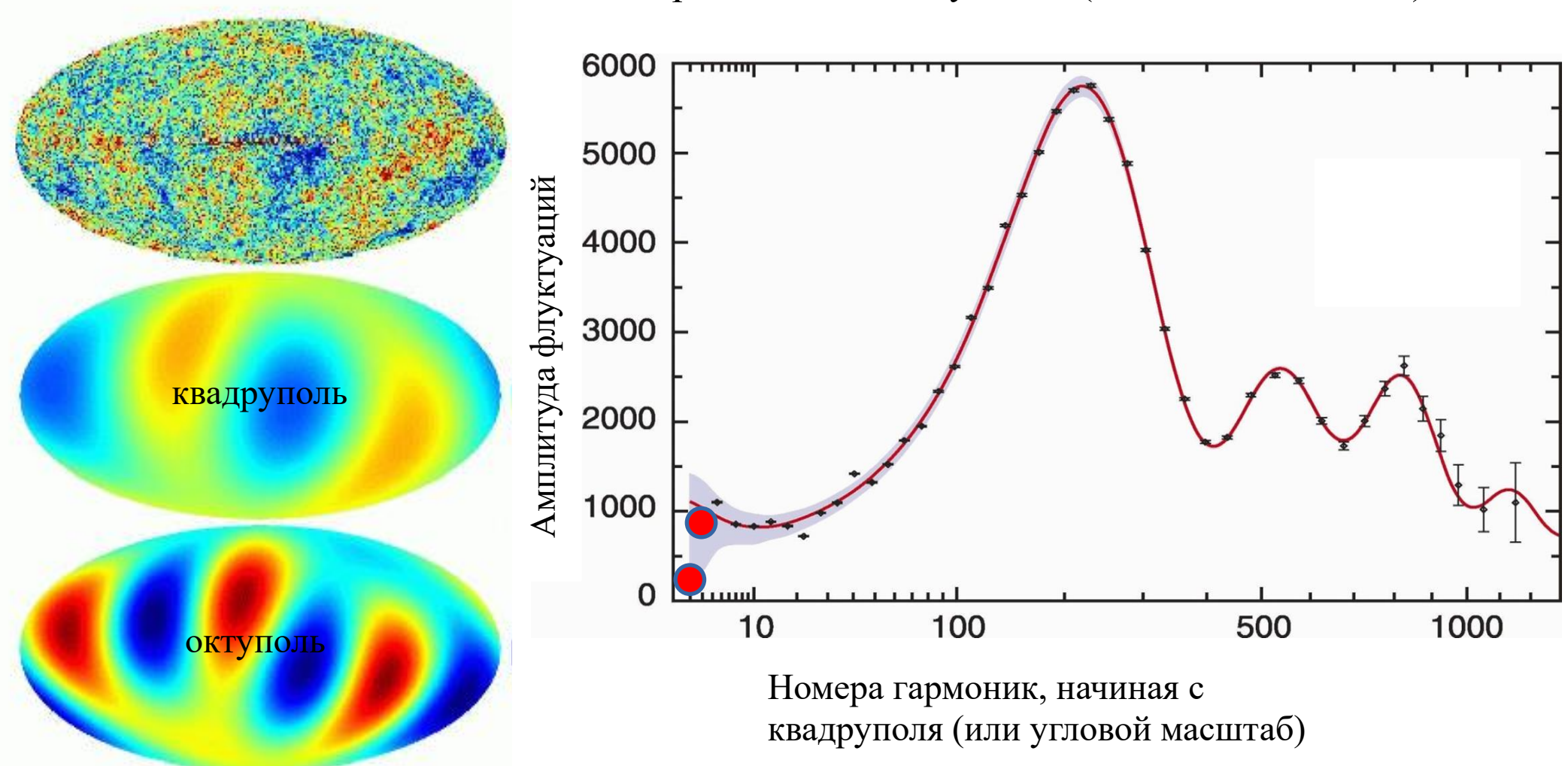


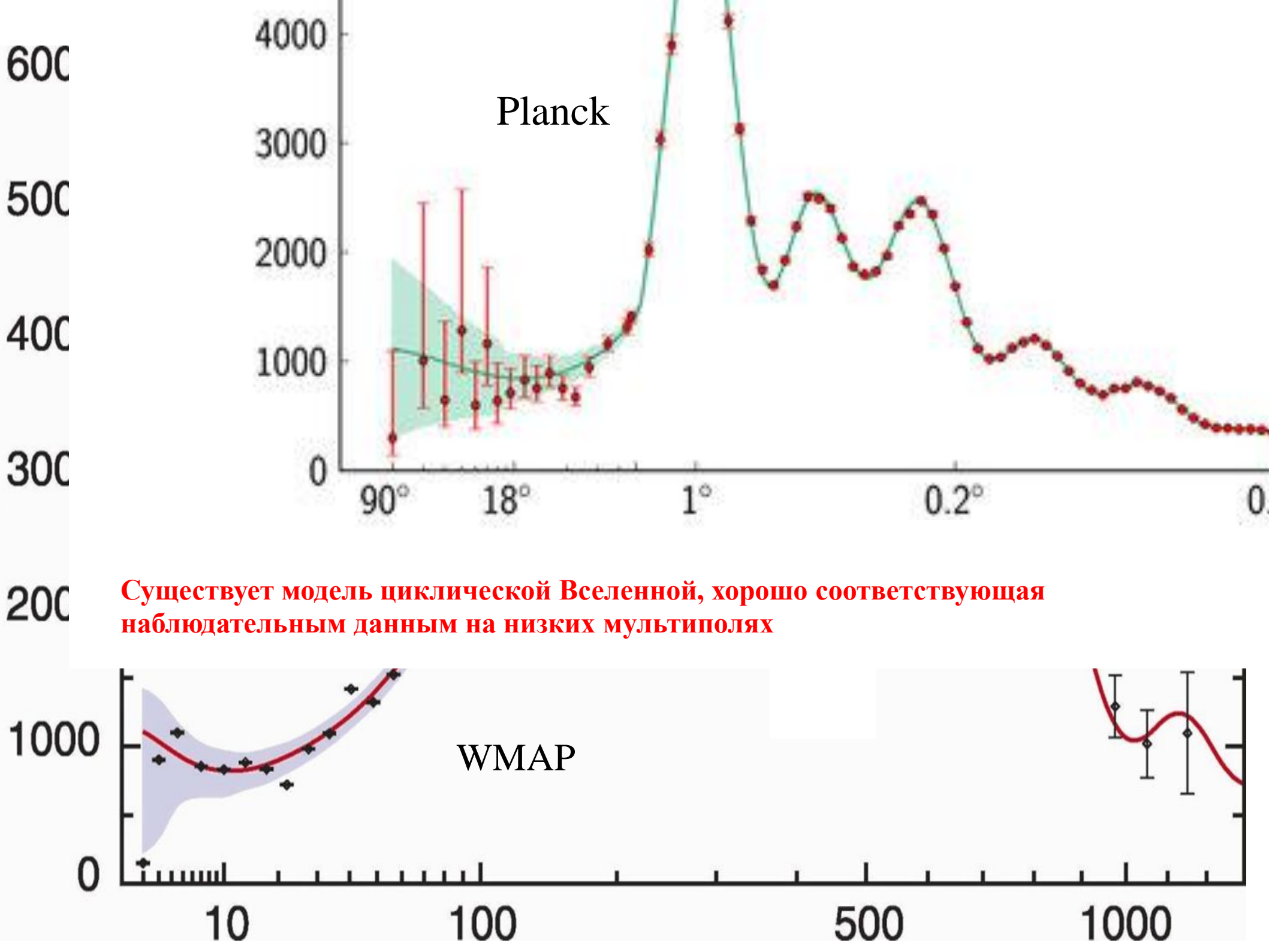
Циклическое пространство Вселенной можно наглядно представить в виде комнаты с зеркальными стенами.

Это довольно точная аналогия, потому что наблюдателю недоступна ни одна область за гранями.

Циклическое пространство — наблюдательные свидетельства?

Спектр мощности угловых флуктуаций реликтового излучения (по данным WMAP).







В модели Вселенной типа додекаэдра горизонт событий и лежащая очень близко к нему поверхность последнего рассеяния пересекают каждую из 12 граней додекаэдра. В результате на карте реликтового излучения получится 6 пар кругов с угловым диаметром 70 град., расположенных в противоположных точках небесной сферы.

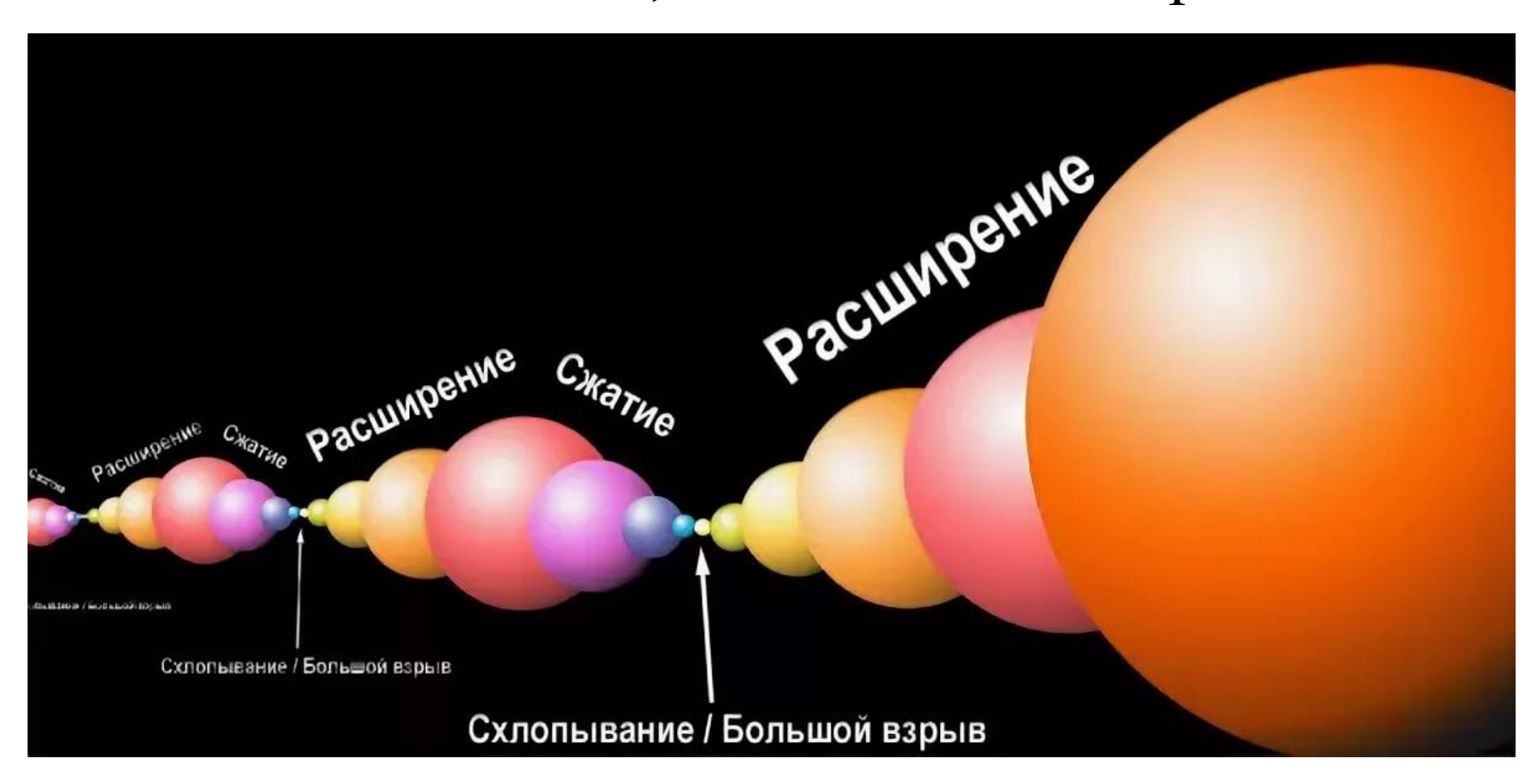
На основе имеющихся данных такие круги пока не обнаружены.

В искривленном римановом пространстве тоже возможны циклы по всем координатам — в таком пространстве они будут искривленными додекаэдрами



Следует различать понятие "циклическая Вселенная" и "Вселенная, циклическая во времени"

Эволюция Вселенной, циклической во времени



ЛЕКЦИЯ 9

Гравитационные волны. Открытие гравитационных волн в двойных системах черных дыр и нейтронных звезд. Поиск космологических гравитационных волн

